

+

×

-

÷

Chapter 2 控制系统的数学模型

一、微分方程

二. 拉氏变换

1. 拉氏逆变换求系数:

对于极点 s_1, s_2, \dots, s_r

$$C_r = \frac{1}{(r-1)!} \lim_{s \rightarrow s_r} \frac{d^{r-1}}{ds^{r-1}} (s-s_r)^{r-1} Y(s) \quad \text{其中 } N \text{ 是极点的级数}$$

三. 传递函数 $G(s)$

1. 定义: $G(s) = \frac{Y(s)}{R(s)}$

2. 典型环节的传递函数

(1) 惯性环节

(2) 积分环节

(3) 振荡环节

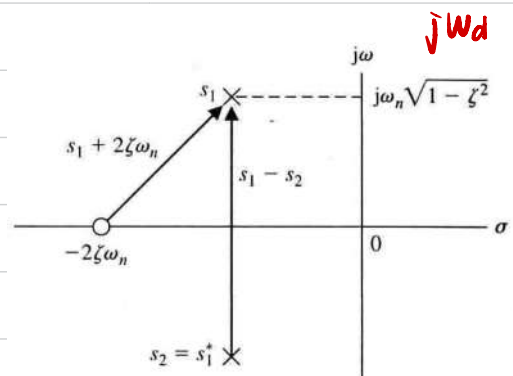
$$G(s) = \frac{W_n^2}{s^2 + 2\zeta W_n s + W_n^2} = \frac{W_n^2}{(s+p_1)(s+p_2)}$$

$$p_{1,2} = -\zeta W_n \pm j W_n \sqrt{1-\zeta^2}$$

(4) 微分环节

(5) 延迟环节

(6) 比例环节



3. 输入信号 $r(t) = A \sin(\omega t)$

① 幅值: $A \rightarrow A |G(j\omega)|$

② f 不变

③ 相角: $0 \rightarrow \angle G(j\omega)$

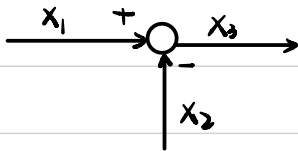
系统 {
 微分方程 \Rightarrow 时域
 传递函数 $G(s) \Rightarrow$ 复数域
 频率特性 $G(j\omega) \Rightarrow$ 频域

四. 方框图模型

1. 信号线

2. 分支点

3. 相加点



五、状态空间模型

1. 状态空间表达 $\begin{cases} \dot{x} = Ax + Bu \\ y = Cx + Du \end{cases} \xrightarrow{\text{线性定常}} \begin{cases} \dot{x}(t) = Ax(t) + Bu(t) \\ y(t) = Cx(t) + Du(t) \end{cases}$

2. 状态变量: 描述系统的所有变量构成一个极大线性无关组

3. A: 系统的状态矩阵 (系统矩阵)

B: 控制矩阵 (输入矩阵)

C: 输出矩阵

D: 前馈矩阵

4. 由状态空间表达式求传递函数

$$G(s) = C(sI - A)^{-1}B$$

2.8 线性离散系统的数学模型

一、差分方程

$$y(k) = -\sum_{i=1}^n a_i \underbrace{y(k-i)}_{\text{输出值(历史)}} + \sum_{j=0}^m b_j \underbrace{r(k-j)}_{\text{输入值}} \quad n \geq m \Rightarrow \text{因果效应}$$

1. Z变换: 对于时间序列 $x(k)$ $k=0, 1, \dots$

$$X(z) = Z[x(k)] = x(0) + x(1)z^{-1} + x(2)z^{-2} + \dots$$

z^k 表示第 k 次采样时刻, 其中 z^{-1} 表示一个单位的延时

$$\textcircled{1} Z[x(k-n)] = z^{-n} X(z)$$

$$\textcircled{2} Z[x(k+n)] = z^n [X(z) - \sum_{k=0}^{n-1} x(k)z^{-k}]$$

2. 脉冲传递函数 (Z函数)

$$G(z) = \frac{Z[y^*(t)]}{Z[x^*(t)]} = \frac{Y(z)}{X(z)}$$

对 $G(s)$ 的单位脉冲响应序列 $g(t)$ 的采样序列 $g^*(t)$ 做 Z 变换得到 $G(z)$

① $G(z)$ 是关于 z 的复函数

② 只与系统的结构有关

3. 求解: 串联环节的 $G(z)$

① G_1 和 G_2 中没有同步采样环节

$$G(z) = G_1 G_2 \Rightarrow Z(G_1 G_2)$$

② 有同步采样环节

$$G(z) = G_1(G_2 z) = Z(G_1) \cdot Z(G_2)$$

③ 与零阶保持器串联

2.8 线性离散系统数学模型

一、香农采样定理

1. 内容: 对具有有限频谱的信号 $(-W_h < W < W_h)$, 采样频率 $W > 2W_h$ 时, 离散的采样信号可以无损地恢复到原来的信号
2. 信号的混叠: 采样频率太低, 高频信号被采集成低频信号

二、Z变换

1. 定义: 对于信号序列 $x(n)$, 它的Z变换序列为 $X(z)$

$$X(z) = x(0) + x(1)z^{-1} + x(2)z^{-2} + x(3)z^{-3} + \dots$$

2. 求Z变换的方法*

① 求和函数

eg1: 全1序列 $x(t) = 1(t)$

解:
$$X(z) = 1 + z^{-1} + z^{-2} + \dots + z^{-n} + \dots$$
$$= \lim_{n \rightarrow \infty} \frac{1(1 - z^{-n})}{1 - z^{-1}} = \frac{z}{z - 1}$$

*推广结论:

$$Z(m^k) = \frac{z}{z - m}$$

eg2: $x(t) = e^{-at} \Rightarrow x(kT) = e^{-a k T}$

解:
$$X(z) = 1 + e^{-aT}z^{-1} + e^{-2aT}z^{-2} + \dots$$
$$= \frac{z}{z - e^{-aT}}$$

*重要结论:

$$Z(e^{-a k T}) = \frac{z}{z - e^{-aT}}$$

eg3: $x(t) = \begin{cases} t, & t \geq 0 \\ 0, & \text{其他} \end{cases}$

解:
$$X(z) = \sum_{n=1}^{\infty} x(nT)z^{-n}$$

② 部分分式展开 + 结论: 略

③ 留数法: 略

$$- \int \frac{X(z)}{z} = \int \sum_{n=1}^{\infty} -n z^{-n-1} \cdot T$$

$$- \int \frac{X(z)}{z} = \sum_{n=1}^{\infty} T z^{-n}$$

两边求导:

$$X(z) = (-z) \cdot \left(\frac{T}{z-1} \right)' = \frac{Tz}{(z-1)^2}$$

3. Z变换的性质

① 线性性质

② 位移性质

$$Z[x(t-nT)] = z^{-n} X(z)$$

$$Z[x(t+nT)] = z^n \left[X(z) - \sum_{k=0}^{n-1} x(kT) z^{-k} \right]$$

③ ...

4. 求Z的逆变换的方法

※ 对于 $X(z)$, 只能得到 $x(kT)$ 和对应的冲激采样 $x^*(t)$

$$x^*(t) = \sum_{k=0}^{\infty} x(kT) \delta(t-kT)$$

① 长除法

将分子分母都变为 z 的负次幂, 得到各项系数

② 部分分式法:

求得 $\frac{X(z)}{z}$ 的部分分式, 然后查表

③ 留数法: 略

$$\Delta x^*(t) \text{ 写成冲激函数的集合 } \sum_{k=0}^{\infty} x(kT) \delta(t-kT)$$

三. 脉冲传递函数

(一) 列式: 从输出向前递推

(二) 传递函数: ① 环节间有采样开关时, 不合并: $G_1(z) G_2(z)$ 分别Z变换后相乘

② 否则先相乘后作Z变换: $G_1 G_2(z)$

③ 输入信号未经采样进入连续环节, 一般写不出传递函数

常用的z变换

$$\textcircled{1} \quad 1(t) \xrightarrow{z} \frac{z}{z-1}$$

$$\textcircled{2} \quad a^k \xrightarrow{z} \frac{z}{z-a}$$

第三章 控制系统的时域分析

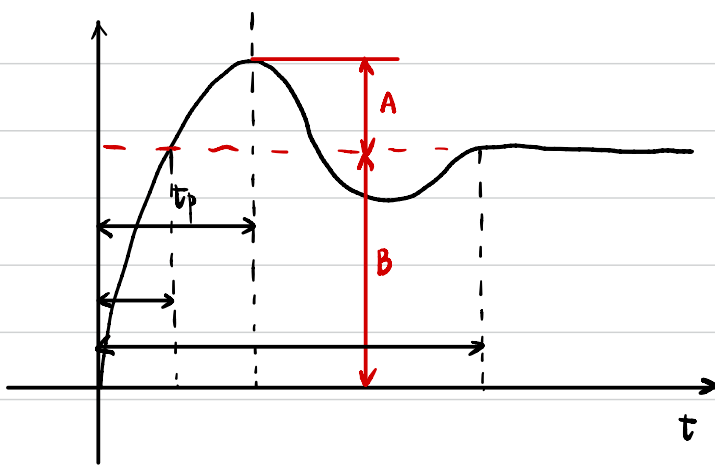
3.1 基于传递函数的时域分析 *二阶系统的分析

△分析方法和步骤

- ① 给闭环控制系统的传递函数 $\Phi(s)$
- ② $Y(s) = \Phi(s) \cdot X(s)$
- ③ 得到 $Y(s)$ 后做拉氏逆变换, 考察 $y(t)$

一、一阶系统的时域分析

1. 性能指标



- 上升时间: ...
- * 峰值时间 t_p : 达到峰值所用时间
- 超调量: $A/B \cdot 100\%$
- 调节时间: 误差达到稳态值带
2-5%内所用的时间

2. 阶跃信号响应

输入信号: 阶跃信号 $U(s) = \frac{1}{s}$

① 传递函数: $G(s) = \frac{k}{Ts+1} \Rightarrow T$ 为调节时间, k 是放大倍数

② 时间常数越小, 系统的响应速度越快

3. 脉冲响应

注: ①

输入信号: 脉冲信号 $\delta(s) = 1$

① $G(s) = \frac{k}{Ts+1}$

② 系统输出为 $Y(t) = \frac{k}{T} e^{-\frac{t}{T}} (t \geq 0)$

△ 性质: 单位脉冲响应能反映系统的全部特征,
即单位脉冲响应与传递函数是拉氏变换对

二、二阶系统的时域分析

1. 标准二阶系统传递函数

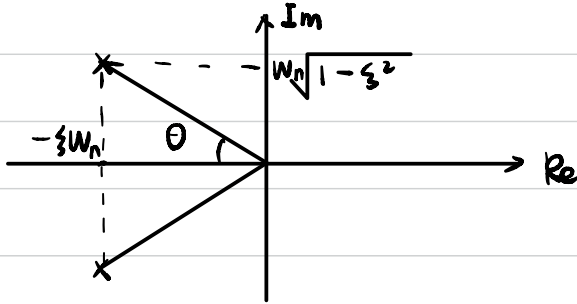
$$G(s) = \frac{\omega_n^2}{s^2 + 2\zeta\omega_n s + \omega_n^2}$$

2. 极点和特征根

$$s = -\zeta\omega_n \pm \omega_n \sqrt{\zeta^2 - 1}$$

┌ 无阻尼自然振荡角频率
└ 阻尼系数

① $0 < \zeta < 1$ 欠阻尼



$$\zeta = \arccos \theta$$

② $\zeta = 1$ 临界阻尼: 两个实根(相同)

③ $\zeta > 1$ 过阻尼: 两个不等实根

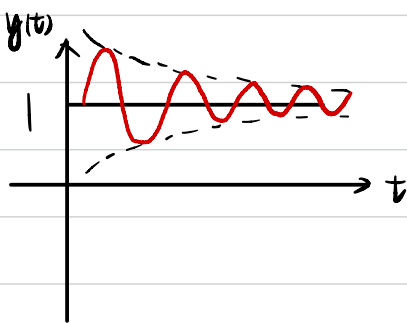
3. 单位阶跃响应

$$Y(s) = G(s) \cdot \frac{1}{s}$$

$$\downarrow \mathcal{L}^{-1}(Y(s))$$

$$y(t) = 1 - e^{-\zeta\omega_n t} \frac{1}{\sqrt{1-\zeta^2}} \sin(\omega_n t + \theta) \quad (t \geq 0)$$

① $0 < \zeta < 1$ 欠阻尼



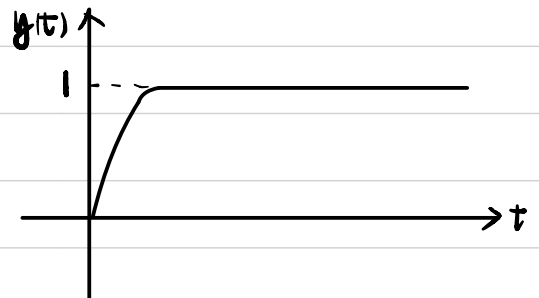
② $\zeta = 0$ 无阻尼

等幅振荡, 超调 100%

调节时间 ∞

③ 临界阻尼 $\zeta = 1$

$$y(t) = 1 - e^{-\omega_n t} (1 + \omega_n t)$$



3. 欠阻尼瞬态响应特性

1) 峰值时间: 响应曲线第一次到峰值时间 T_p

$$\frac{dy(t)}{dt} = 0$$

$$\text{由 } Y(s) = \frac{\omega_n^2}{s^2 + 2\zeta\omega_n s + \omega_n^2} \xrightarrow{\mathcal{L}^{-1}} \frac{dy(t)}{dt} = \frac{\omega_n}{\sqrt{1-\zeta^2}} e^{-\zeta\omega_n t} \sin\omega_d t = 0$$

$$\text{即 } t = \frac{n\pi}{\omega_d} \quad \text{其中 } \omega_d = \omega_n \sqrt{1-\zeta^2}$$

$$\text{取 } n=1 \Rightarrow T_p = \frac{\pi}{\omega_n \sqrt{1-\zeta^2}}$$

2) 超调量 $\sigma\%$

$$\sigma\% \triangleq \frac{y(T_p) - y(\infty)}{y(\infty)} \times 100\%$$

$$\sigma\% = e^{-\zeta\omega_n T_p} = \exp\left(\frac{-\zeta\pi}{\sqrt{1-\zeta^2}}\right) \times 100\% \quad \text{* 只与阻尼比有关}$$

3) 上升时间 T_r

$$T_r = \frac{\pi - \phi}{\omega_n \sqrt{1-\zeta^2}}$$

$$\text{其中 } \phi = \arctan \frac{\sqrt{1-\zeta^2}}{\zeta}$$

4) 调节时间 T_s (由不等式推导得到)

$$T_s(2\%) = \frac{1}{\zeta\omega_n} \left[4 - \frac{1}{2} \ln(1-\zeta^2) \right]$$

$$T_s(5\%) = \frac{1}{\zeta\omega_n} \left[3 - \frac{1}{2} \ln(1-\zeta^2) \right]$$

eg: 零点 $-z = -\frac{1}{z}$, 添加零点 1, 则 $-z = 1$

$$\text{即 } z = -1$$

* 添加零点时用 $G(s) = \frac{w_n^2(zs+1)}{s^2+2\xi w_n s+w_n^2}$ 合适

三、有零点的二阶系统

1. 传递函数

闭环传递函数

$$G(s) = \frac{w_n^2(zs+1)}{s^2+2\xi w_n s+w_n^2} = \frac{w_n^2(s+z)}{z(s^2+2\xi w_n s+w_n^2)} \quad (\text{其中 } z = \frac{1}{z})$$

2. 动态性能指标

$$\textcircled{1} \text{ 上升时间 } T_{rz} = T_r - \frac{\psi}{w_d}$$

$$\text{其中 } w_d = w_n \sqrt{1-\xi^2}, \quad \psi = \arctan \frac{w_n \sqrt{1-\xi^2}}{z - \xi w_n}, \quad T_r \text{ 是标准无零点二阶系统 } T_r = \frac{\pi - \phi}{w_n \sqrt{1-\xi^2}}$$

$$\textcircled{2} \text{ 峰值时间 } T_{pz} = T_p - \frac{\psi}{w_d}$$

$$\text{其中 } T_p = \frac{\pi}{w_n \sqrt{1-\xi^2}}$$

$$\textcircled{3} \text{ 超调量 } \sigma_2\% = \frac{1}{z} e^{(3.4/\sqrt{1-\xi^2})} \times \sigma\%$$

$$\text{其中 } l = \sqrt{z^2 - 2w_n \xi z + w_n^2}, \quad \sigma\% = e^{\frac{-3.4l}{\sqrt{1-\xi^2}}}$$

$$\textcircled{4} \text{ 调节时间 } T_{sz} = T_s - \frac{1}{\xi w_n} \ln \frac{l}{z}$$

$$\text{其中, } T_s(2\%) = \frac{1}{\xi w_n} [4 - \frac{1}{2} \ln(1-\xi^2)]$$

$$T_s(5\%) = \frac{1}{\xi w_n} [3 - \frac{1}{2} \ln(1-\xi^2)]$$

$$T_{sz} = T_s - \frac{1}{\xi w_n} \ln \frac{l}{z}$$

五. 系统的静态性能指标

1. 高阶系统的分类

$$\text{考虑开环传递函数 } G(s) = \frac{K \prod_{i=1}^m (T_i s + 1)}{S^N \prod_{j=1}^n (\tau_j s + 1)}$$

当 $N=0, 1, 2$ 时, 对应的系统称为 0 型, 1 型, 2 型系统

2. 稳态误差系数 k_p

$$k_p \triangleq \lim_{s \rightarrow 0} G(s) = \lim_{s \rightarrow 0} \frac{K}{S^N}$$

① 0 型系统 $k_p = \lim_{s \rightarrow 0} \frac{K}{S^0} = K$

② 1 型系统 $k_p = \lim_{s \rightarrow 0} \frac{K}{S} = \infty$

3. 稳态误差 e_{ss}

$$e_{ss} = \lim_{s \rightarrow 0} sE(s)$$

A. 阶跃信号 $R(s) = \frac{1}{s}$

B. 斜坡输入 $R(s) = \frac{1}{s^2}$

C. 加速度信号 $R(s) = \frac{1}{s^3}$

0 型系统	$e_{ss} = \frac{1}{1+K}$	∞	∞
1 型系统	0	$\frac{1}{K}$	∞
2 型系统	0	0	$\frac{1}{K}$

四、离散系统

(一) 阶跃信号

$$\text{闭环传函为 } \Phi(z) = \frac{k\pi(z-z_i)}{\pi(z-p_i)}$$

$$\begin{aligned} \text{则阶跃信号下的响应 } Y(z) &= \Phi(z) \cdot U(z) = \frac{k\pi(z-z_i)}{\pi(z-p_i)} \cdot \frac{z}{z-1} \\ &= \frac{\lambda z}{z-1} + \sum_{i=1}^n \frac{B_i z}{z-p_i} \end{aligned}$$

特征方程无重根

$$\text{进行 } z \text{ 反变换得到 } y(kT) = A + \sum_{i=1}^n B_i p_i^k \text{ 与零、极点相关}$$

1. 实极点

第 i 个实极点对应的分量为 $y_i(kT) = B_i p_i^k$

根据极点和单位圆的相对位置, 确定对应情况

△ 与连续系统不同 (振荡时一定要虚部), 离散系统极点在实半轴上时会有振荡

2. 复数共轭极点

对于一对共轭极点 $p_{i, i+1} = a \pm bj$ 产生对应分量为 $y_i(kT) = A_i \lambda_i^k \cos(k\theta_i + \phi_i)$

其中 $\lambda_i = \sqrt{a^2 + b^2}$, $\theta_i = \arctan \frac{b}{a}$ 而 A_i 和 ϕ_i 是由部分分式展开的系数决定

弧度

① $\lambda_i < 1$ 即极点在单位圆内部时, 响应衰减振荡, 振荡角频率为 θ_i/T

特别地, 在实轴正半轴时, $\theta_i = \pi$, 即振荡角频率为 π/T , 在虚轴正半轴时, $\theta_i = 0$

(二) 阶跃响应的性能指标

得到闭环传函 $\rightarrow \Phi(z)$ 乘以输入信号 $\frac{z}{z-1} \rightarrow$ 对 $Y(z)$ 作 z 逆变换 (用长除法)

3.2 基于状态空间的时域分析

一、矩阵指数函数的性质

1. 多项式逼近: $e^{At} = I + At + \frac{1}{2!}(At)^2 + \dots$

2. 运算性质: ① $e^{At} |_{t=0} = I$

② $e^{(A+B)t} = e^{At} \cdot e^{Bt}$

③ $(e^{At})^{-1} = e^{-At}$

④ 若 $AF = FA$, $e^{(A+F)t} = e^{At} \cdot e^{Ft} = e^{Ft} \cdot e^{At}$

⑤ $de^{At}/dt = Ae^{At}$

⑥ $A = \text{diag}(\lambda_1, \lambda_2, \dots, \lambda_m)$ 则 $e^{At} = \text{diag}(e^{\lambda_1 t}, e^{\lambda_2 t}, \dots)$

3. 矩阵指数函数的计算

① 展开法: $e^{At} = I + (At) + \frac{1}{2!}(At)^2 + \dots$

② 特征根法

a) n 个特征根均不相同

$$e^{At} = P \cdot \text{diag}[e^{\lambda_1 t}, e^{\lambda_2 t}, e^{\lambda_3 t}, \dots] P^{-1} = P e^{\Lambda t} P^{-1}$$

其中 P 是由每个特征根对应的特征向量构成的 $P = [v_1, v_2, v_3, \dots]$

Δ 证明: 任意具有 n 个互不相同的特征根的矩阵, 可以做以下对角化:

$$P^{-1}AP = \Lambda \Rightarrow A = P\Lambda P^{-1}$$

$$\text{由此得到 } A^2 = P\Lambda^2 P^{-1}, A^3 = P\Lambda^3 P^{-1}$$

$$\text{代入 } e^{At} = I + At + \frac{1}{2!}(At)^2 + \dots$$

得证

b) 具有重根: 广义 Jordan 标准型

几何重数, 代数重数, 分块矩阵

对于 A : $A = QBQ^{-1}$ $B = \left[\begin{array}{ccc|ccc} \lambda_1 & 1 & 0 & & & \\ & \lambda_1 & 1 & & & \\ & & \lambda_1 & & & \\ \hline & & & \lambda_2 & & \\ & & & & \ddots & \\ & & & & & \lambda_2 \end{array} \right]$

$$\text{则: } e^{At} = Q \left[\begin{array}{ccc|ccc} e^{\lambda_1 t} & te^{\lambda_1 t} & \frac{1}{2}t^2 e^{\lambda_1 t} & & & \\ & e^{\lambda_1 t} & te^{\lambda_1 t} & & & 0 \\ & & e^{\lambda_1 t} & & & \\ \hline & & & e^{\lambda_2 t} & te^{\lambda_2 t} & \\ & & & & e^{\lambda_2 t} & \\ & & 0 & & & e^{\lambda_2 t} \end{array} \right]$$

③ 预解矩阵法, 拉氏变换法

$$(s-a)^{-1} \text{ 的幂级数展开为 } (s-a)^{-1} = \frac{1}{s} + \frac{a}{s^2} + \frac{a^2}{s^3} + \dots$$

$$\text{即对于矩阵 } A \text{ 有: } (sI-A)^{-1} = \frac{1}{s} + \frac{A}{s^2} + \frac{A^2}{s^3} + \dots$$

$$\text{有: } e^{At} = \mathcal{L}^{-1}[(sI-A)^{-1}]$$

二、系统的响应

$$\text{(一) 零输入响应: } e^{At} x_0$$

$$\text{(二) 零状态响应: } \int_0^t e^{A(t-\tau)} B u(\tau) d\tau$$

一般线性系统的响应

$$x(t) = x_{0u} + x_{0x}(t) = e^{At} x_0 + \int_0^t e^{A(t-\tau)} B u(\tau) d\tau$$

1. A 与特征根特征向量有关, 对于特征值两两相异的 n 维系统

$$e^{At} = \sum_{i=1}^n v_i v_i^{-1} e^{\lambda_i t}$$

三、系统的状态转移矩阵

1. 定义: 将系统状态由 t_0 时刻转移到 t 时刻有: $x = \Phi(t, t_0) \cdot x_0$

其中 $\Phi(t, t_0) = e^{A(t-t_0)}$ 称为系统的状态转移矩阵

2. 状态响应和输出响应

$$y(t) = C x(t) + D u = C \Phi(t, 0) x_0 + C \int_0^t e^{A(t-\tau)} B u(\tau) d\tau + D u$$

四、离散系统状态方程时域分析

1. 线性系统离散化

$$\begin{cases} \dot{x}(t) = Ax + Bu \\ y(t) = Cx + Du \end{cases} \implies \begin{cases} x(k+1) = Gx(k) + Hu(k) \\ y(k) = Cx(k) + Du(k) \end{cases}$$

$$\text{其中 } G = e^{AT} \quad H = \left(\int_0^T e^{At} dt \right) B$$

2. 求转移矩阵 G^k

自控原理上半部分总结：PPT 例题

<描述系统的方法>

连续系统

离散系统

微分方程

差分方程

输出系统

传递函数

脉冲传递函数

方框图

方框图 Δ 显式传递的条件

信号流图

状态空间模型

$$\dot{x} = Ax + Bu$$

$$x(k+1) = Gx(k) + Hu(k)$$

$$y = Cx + Du$$

$$y(k) = Cx(k) + Du(k)$$



得到系统的响应



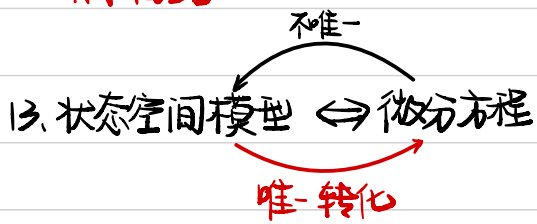
分析动、静态指标

Δ 极点和系统行为的关系

1. 为什么研究线性系统：泰勒展开，求解微分方程
2. 拉氏变换，积分收敛条件
3. 拉氏变换性质，终值定理（及条件）
4. 拉氏变换对
5. 拉氏变换求微分方程，分解：①有重根 ②无重根 Δ 公式？
6. 传递函数初始值为0，与输入无关只取决于系统本身
7. 传递函数环节：二阶系统振荡环节极点图 *
8. 传函和阶跃响应是拉氏变换对
9. 前向、开闭环传函
10. 负载项的不可忽略情况 \Rightarrow 方框图下忽略负载
11. 方框图化简技巧

12. 用信号流图和梅森公式求复杂系统的传函

※求回路



14. 能控标准型

15. 同一个系统不同状态空间模型的关系

16. 离散系统采样、采样定理 (频率不失真 波形失真 为了防止信号混叠现象) A/D

17. $e^{Ts} = z$

18. 零阶保持器 D/A

19. Z变换的定义, Z变换表

20. Z变换的性质、终值定理

21. Z逆变换 ①长除法 ②部分分式法

22. 求解差分方程: Z变换

23. 脉冲传函: 输入是采样信号 Δ 加入零阶保持器环节

24. 同步采样开关影响合并

25. 差分方程 \rightarrow 离散方程

26. 性能指标 (延迟时间不管)

27. 二阶系统极点与 ξ, ω_n 关系

28. 斜坡响应

29. 主导极点与 ξ 倍关系 \Rightarrow 高阶系统降阶

补充: Jordan 标准型

1. 几何重数和代数重数:

① 代数重数是特征根的重数

② 几何重数是 Jordan 块的个数

③ 广义特征向量个数 = 代重 - 几重

2. 将矩阵转化为 Jordan 标准型

利用特征向量构成的特征阵 Q

$$J = Q^{-1} A Q$$

第4章 控制系统稳定性稳态误差

一、连续系统稳定性及劳斯判据

(一) 稳定性的概念

从欠阻尼二阶系统响应得到

1、对于稳定的零状态系统，给系统一个脉冲扰动 $\delta(t)$ 若 $t \rightarrow \infty$ 时，输出响应收敛到原来的零平衡状态

特征方程零点实部位于左半复平面是稳定的

2、系统稳定的充要条件

闭环极点均具有负实部，或均位于左半平面 (古典控制临界稳定归为不稳定)

△只取决于结构 (II型系统) 和参数 (特征方程系数)

(二) 稳定性判据

$$D(s) = a_n s^n + a_{n-1} s^{n-1} + \dots + a_1 s + a_0$$

1、必要条件: $a_i > 0$

2、劳斯判据

① 劳斯阵列: n阶系统共有 n+1 行

s^n	a_0	a_2	a_4	a_6	...	
s^{n-1}	a_1	a_3	a_5	a_7	...	
s^{n-2}	b_1	b_2	b_3	...		$\begin{cases} b_1 = (a_1 a_2 - a_0 a_3) / a_1 \\ b_2 = (a_1 a_4 - a_0 a_5) / a_1 \\ \vdots \end{cases}$
s^{n-3}	c_1	c_2	c_3	...		
s^1						
s^0						

② 第一列全部为正数 \implies 系统稳定

符号改变的次数是右根的个数

③ 说明: 行同乘/除一个正数, 结论不变

劳斯判据特殊情况 a) 第一列出现 0, 但该行系数不为 0 \rightarrow 系统不稳定, 用 ϵ 代替 0, 令 $\epsilon \rightarrow 0$

b) 全零行, 用上一行的元素构造辅助多项式, 求导后得到新行

辅助方程的根也是特征方程的根, 且一般为偶次方程, 根成对出现

△特征方程 ① 由全零行的上一行构建, 且每隔 2 次取值, 本身的根也是传出的极点

② 根常以成对的纯虚根出现, 对应稳定振荡频率

③ 求导后可以作为下行的劳斯系数

(三) 利用劳斯判据确定参数的范围

$$G(s) = \frac{K \prod_{i=1}^m (z_i s + 1)}{s^v \prod_{j=1}^k (T_j s + 1) \prod_{k=1}^z (T_k^2 s^2 + 2\zeta_k T_k s + 1)}$$

代表开环传递

- ① 加零点问题 ② 开环增益问题

(四) 说明

1. 开环系统和闭环系统稳定性没有关系
2. 闭环零点决定系数, 不影响稳定性
3. 开环极点决定系数和稳定性

二、离散系统稳定性定义和劳斯判据

(一) S域到Z域的映射

$$z = e^{sT} \quad s = \sigma + j\omega \Rightarrow z = e^{\sigma T} \cdot e^{j\omega T}$$

$$\text{则有 } |z| = e^{\sigma T} \quad \angle z = \omega T$$

* S域中的左半平面 $\sigma < 0$, 对应Z域中的单位圆内部

1. 等 σ 线映射:

在S域中的等 σ 线对应了Z域中的半径为 $|z| = |e^{\sigma T}|$ 的同心圆

2. 等 ω 线映射:

S: 水平线 \longrightarrow Z: 射线

3. 线性离散系统的稳定性充要条件

全部特征根都分布在单位圆内, 即 $|z| < 1$

(二) 劳斯稳定判据

1. W变换与劳斯稳定判据

内容: 将Z平面的单位圆内部映射到W平面左半平面

$$z = (w+1)/(w-1) \quad w = (z+1)/(z-1)$$

$$\text{设 } z = x + jy, \quad w = u + vj$$

$$\Rightarrow u = \frac{(x^2 + y^2) - 1}{(x-1)^2 + y^2}, \quad v = \dots \text{ (不重要)}$$

先用 $\frac{w+1}{w-1}$ 代替Z, 再在W域中使用连续时的劳斯判据

2. K和T对系统稳定性的影响

① T一定时, 增大K会使得系统不稳定

② K一定时,

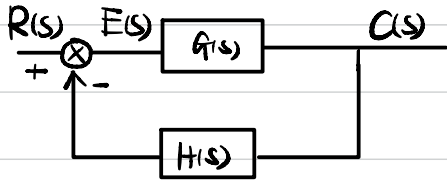
4.2 控制系统的稳态误差：在系统稳定的前提下，因此计算稳态误差前应先判断稳定性

阶跃输入下有原理误差的称为有差系统

稳定误差：由给定输入引起的误差是给定稳态误差

一、误差的定义

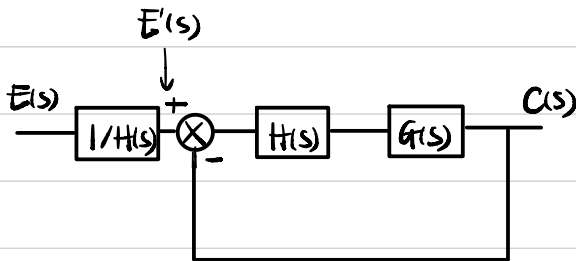
1. 按输入端定义的误差(常用)



$$E(s) = R(s) - H(s)C(s)$$

$$E(s) = \frac{1}{1 + G(s)H(s)} R(s)$$

2. 按输出端定义的误差



偏差函数 $\varepsilon(s)$ ，误差函数 $e(s)$

二、计算系统的误差(终值定理法)

1. 判断系统的稳定性

2. 得到误差传递函数 $\Phi(s) = \frac{1}{1 + G(s)H(s)}$

前馈传函
1 + 开环传函

3. 根据输入 $R(s)$ ，得到 $E(s) = \Phi(s) R(s)$

4. 判断终值定理的使用条件： $sE(s)$ 的极点都在左半平面(包括原点)

$$e_{ss} = \lim_{s \rightarrow 0} sE(s) = \lim_{t \rightarrow \infty} e(t)$$

(三) 控制系统的型别

1. 系统的开环传递函数为

$$G(s)H(s) = \frac{K}{S^V} \frac{\prod (Z_i s + 1) \prod (T_k^2 s^2 + 2\xi_k T_k s + 1)}{\prod (T_j s + 1) \prod (T_k^2 s^2 + 2\xi_k T_k s + 1)}$$

$$\text{有 } K = \lim_{s \rightarrow 0} S^V G(s)H(s)$$

(四) 给定输入下的稳态误差 (静态误差系数法)

1. 阶跃输入下的 e_{ss} , $R(s) = A/s$

$$e_{ss} = \lim_{s \rightarrow 0} \frac{sR(s)}{1 + G(s)H(s)} = \frac{A}{1 + \lim_{s \rightarrow 0} G(s)H(s)} = \frac{A}{1 + K_p}$$

定义 K_p 为静态位置误差系数

$$e_{ss} = \begin{cases} \frac{A}{1 + K_p}, & 0 \text{ 型系统, 能跟踪, 但有误差} \\ 0, & \text{others, 能跟踪, 无误差} \end{cases}$$

2. 斜坡信号下的 e_{ss} , $R(s) = A/s^2$

$$e_{ss} = \lim_{s \rightarrow 0} \frac{A}{s G(s)H(s)} = \frac{A}{K_v}$$

定义 K_v 为静态速度误差系数

$$K_v = \lim_{s \rightarrow 0} s G(s)H(s) = \lim_{s \rightarrow 0} \frac{K}{S^{V-1}} \begin{cases} 0 & V=0 \\ K & V=1 \\ \infty & \text{others} \end{cases}$$

$$e_{ss} = \begin{cases} \infty & 0 \text{ 型系统, 不能跟踪} \\ \frac{A}{K_v} & 1 \text{ 型系统, 能跟踪, 但有误差} \\ 0 & \text{others, 能跟踪, 无误差} \end{cases}$$

3. 加速度输入下的 e_{ss} , $R(s) = A/s^2$

$$\text{同理有 } e_{ss} = \frac{A}{k_a}$$

定义 k_a 为静态加速度误差系数

$$k_a = \lim_{s \rightarrow 0} \frac{K}{s^{V-2}} \quad \left\{ \begin{array}{ll} 0 & V=0, 1 \\ K & V=2 \\ \infty & V=\text{others} \end{array} \right.$$

$$e_{ss} = \left\{ \begin{array}{ll} \infty & 0 \text{ 型, } 1 \text{ 型无法跟踪} \\ A/K & 2 \text{ 型系统} \\ 0 & \text{高阶系统} \end{array} \right.$$

4. 说明:

① 只有当输入型和系统的型别相同时, 误差才为常数

(五) 动态误差系数法

将传递函数 $\Phi(s)$ 用长除法, 得到

$$\Phi(s) = C_0 + C_1 s + C_2 s^2 + \dots$$

稳定误差则为 $e_{ss}(t) = C_0 r(t) + C_1 \dot{r}(t) + C_2 \ddot{r}(t)$

得到的误差一般含有 t , 代表动态误差

$$e_{ss} = \lim_{t \rightarrow \infty} e_{ss}(t)$$

二、离散系统的稳态误差 $e_{ss}^*(\infty)$

(一) 一般方法 (利用终值定理)

1. 设 $G(z)$ 和 $H(z)$ 间没有采样开关

$$\text{则 } GH(z) = Z[G(s)H(s)] = \frac{1}{(z-1)^v} GH_0(z)$$

连续系统以极点为 0 的个数定义型别
对应离散系统以极点为 1 的个数定义
 $z = e^{sT} \mid_{s=0} \Rightarrow z=1$

2. 步骤

判断系统的稳定性

$$\text{得到误差传递函数 } H(z) = \frac{E(z)}{R(z)}$$

(二) 静态误差系数法 (适用于对误差采样的系统)

1. 阶跃信号输入 $r(t) = A \cdot 1(t)$

$$K_p = \lim_{z \rightarrow 1} GH(z) \quad e_{ss}^*(\infty) = \frac{A}{1+K_p}$$

2. 斜坡信号输入

$$K_v = \lim_{z \rightarrow 1} (z-1)GH(z) \quad e_{ss}^*(\infty) = \frac{AT}{K_v} \quad T \text{ 是采样周期}$$

3. 加速度信号输入

$$K_a = \lim_{z \rightarrow 1} (z-1)^2 GH(z) \quad e_{ss}^*(\infty) = \frac{AT^2}{K_a} \quad T \text{ 是采样周期}$$

(三) 动态误差系数法

小结: 计算系统误差

一、连续系统的误差

(一) 基本方法

1. 判断系统的稳定性

使用劳斯判据判断稳定性 \Rightarrow 先算闭环传递函数, 再得到特征方程

***** 开环传递函数整理成 " $ks+1$ " 的形式, 从而得到系统的型别和开环增益的 K

2. 得到误差传递函数 Φ_{ef}

① 对于单位反馈系统, 若其开环传递函数为 $G(s)$, 则 $\Phi_{ef} = \frac{1}{1+G(s)}$

② 对于一般的系统, 列出 $Y(s)$, $E(s)$, $R(s)$ 关系式, 再利用 $E(s) = R(s) - Y(s)$ 消元

3. 判断使用终值定理的条件

$\lim_{s \rightarrow 0} sE(s)$ 的所有极点都位于坐标系的左半平面 (包括坐标原点)

4. 利用终值定理得到稳态误差

$$e_{ss} = \lim_{s \rightarrow 0} s \Phi_{ef} \cdot F(s) = \lim_{s \rightarrow 0} sE(s)$$

(二) 静态误差系数法

1. 判断系统的稳定性

使用劳斯判据判断稳定性 \Rightarrow 先算闭环传递函数, 再得到特征方程

2. 系统对于输入响应的误差

$e(t)$	$E(s)$	误差	0	I	II	
$A(t)$	A/s	$\frac{A}{1+K_p}$	0	0		$K_p = \lim_{s \rightarrow 0} G(s)$
A_t	A/s^2	∞	$\frac{A}{K_v}$	0		$K_v = \lim_{s \rightarrow 0} sG(s)$
$\frac{1}{2}At^2$	A/s^3	∞	∞	$\frac{A}{K_a}$		$K_a = \lim_{s \rightarrow 0} s^2G(s)$

注: ① 输入信号为 $e(t) = t^2$ 时, $A=2$

② 将开环传递函数整理为标准形式后, 分子的开环增益即为 $K_p / K_v / K_a$

二、离散系统的稳态误差

△ 采样开关在 $E(s)$ 处才能讨论稳态误差

(一) 一般方法

1. 利用开环传函 $G(s)$ 做 Z 变换得到 $G(z)$ (与采样时间有关)

① $G(s)$	$g(t)$	$G(z)$
$1/s$	$u(t)$	$\frac{z}{z-1}$
$1/s^2$	$1/t$	$\frac{Tz}{(z-1)^2}$
$2/s^3$	$1/t^2$	$\frac{T^2 z(z+1)}{(z-1)^3}$

② 时移性质: $\begin{cases} t(e^{t-t_0}) = e^{-st_0} E(s) \\ z(x(n-m)) = e^{-m} X(z) \end{cases}$

* eg: $T=0.25, G(s) = \frac{ze^{-0.5s}}{s^2} \neq G(z)$

$g(t) = \frac{1}{(t-0.5)}$ $\xrightarrow[\text{延迟2点}]{\text{延迟0.5s}}$ $g(n) = \frac{1}{n-2}$

$$G(z) = z^{-2} \cdot \frac{z}{(z-1)^2}$$

③ 零阶保持器

$$G(s) = \frac{1-e^{-sT}}{s}$$

性质: $Z(G(s)H(s)) = (1-z^{-n}) \cdot Z\left(\frac{H(s)}{s}\right)$

2. 利用终值定理计算

对于单位反馈系统, $\Phi_{ef}(z) = \frac{1}{1+G(z)}$

$$e_{ss} = \lim_{z \rightarrow 1} (z-1) \cdot \Phi_{ef}(z) \cdot F(z)$$

(二) 静态误差系数法

1. 判断系统的稳定性

得到特征方程, 利用 $z = \frac{w+1}{w-1}$ 替换, 再用劳斯判据

2. 由 $G(s)$ 得到 $G(z)$, 从而得到系统的型和开环增益

$z-1$ 的次数即为系统型数

3. 系统的误差响应 (与采样周期有关)

输入 $r(t)$	0	I	II
A	$\frac{A}{1+K_p}$	0	0
At	∞	$\frac{AT}{K_v}$	0
$\frac{1}{2}At^2$	∞	∞	$\frac{AT^2}{K_a}$

$$K_p = \lim_{z \rightarrow 1} G(z)$$

$$K_v = \lim_{z \rightarrow 1} (z-1) G(z)$$

$$K_a = \lim_{z \rightarrow 1} (z-1)^2 G(z)$$

4.3 根于根轨迹的稳定分析法

一、根轨迹法的基本概念

1. 根轨迹: 当系统的某一参数变化时, 闭环特征方程的根在 s 平面移动的轨迹

2. 开环传递与闭环零极点的关系

① 闭环零点由前向通路零点和反馈通路极点构成

② 闭环极点与开环零点, 开环极点和 k^* 有关

3. 根轨迹方程: 满足该方程的点都在根轨迹上

考虑单位反馈系数, $G(s) = \frac{k^*}{s-p}$

根轨迹方程则为 $G(s)+1=0$

$$\begin{cases} |G(s)| = \frac{k^*}{|s-p|} = 1 & k^* \text{变化范围是 } (0, \infty), \text{ 该条件总是满足的} \\ \angle G(s) = -\angle(s-p) = (2k+1)\pi & \text{满足相角条件是 } s \text{ 在根轨迹上点的充要条件} \end{cases}$$

一般情况下的根轨迹方程

$$\begin{cases} |G(s)H(s)| = \frac{\prod |s-z_i|}{\prod |s-p_i|} k^* = 1 & \text{模值条件: 用来求特定位置的 } k^* \text{ 的值} \\ \angle G(s)H(s) = \sum \angle(s-z_i) - \sum \angle(s-p_i) = (2k+1)\pi & \text{相位条件} \end{cases}$$

4. 开环传递的两种表达形式

① 根轨迹法

$$G(s)H(s) = \frac{k^* \prod_{i=1}^m (s-z_i)}{\prod_{j=1}^n (s-p_j)} \quad k^* \text{ 是开环增益}$$

② 一般形式

$$G(s)H(s) = \frac{\overset{\text{K}}{\text{SV}} \prod (z_j s + 1) \prod (2\zeta_k s^2 + 2\xi_k s + 1)}{\prod (T_j s + 1) \prod (T_k s^2 + 2\xi_k T_k s + 1)}$$

③ k 和 k^* 之间的关系

$$k = k^* \cdot \frac{\prod |s-z_i|}{\prod |s-p_i|}$$

二、绘制根轨迹 *

1. 根轨迹的起点和终点:

根轨迹始于开环极点, 终止于开环零点; 如果极点个数 $n >$ 零点个数 m , 则有 $n - m$ 条终止于 ∞

$$|G(s)H(s)| = 1 \Rightarrow K^* = \frac{\prod_{i=1}^n |s - p_i|}{\prod_{j=1}^m |s - z_j|} = \frac{s^{n-m} \prod_{i=1}^m |1 - \frac{p_i}{s}| \cdots |1 - \frac{p_n}{s}|}{\prod_{j=1}^m |1 - \frac{z_j}{s}| \cdots |1 - \frac{z_m}{s}|}$$

2. 根轨迹的数目、连续性、对称性

① 分支数 = 开环极点的个数

② 连续性 = 根轨迹连续

③ 对称性 = 对称于实轴

3. 实轴上根的轨迹

从实轴上最右端算起, 奇数零极点或偶数零极点间的区域一定是根轨迹

4. 根之和: $\sum \lambda_i = C$ ($n - m \geq 2$)

开环根之和保持不变, $n - m \geq 2$ 时, 闭环根之和为常数

△ 一般结论

定理: 若系统有两个开环极点, 1个开环零点, 且复平面存在根轨迹, 则该根轨迹一定为以该零点为中心的圆弧

5. 渐近线

$$\begin{cases} \sigma_a = \frac{\sum p_i - \sum z_j}{n - m} & \text{是渐近线与 } \sigma \text{ 轴的交点} \\ \varphi_a = \frac{(2k+1)\pi}{n - m} & \text{是渐近线与实轴的角度} \end{cases}$$

6. 分离点 d : $\sum_{i=1}^n \frac{1}{d - p_i} = \sum_{j=1}^m \frac{1}{d - z_j}$ 没有零点时右侧为 0

利用 $|G(s)| = 1$ 得到对应的 K^* 的值, 分离点重要, 因为常常是振荡始终点

7. 与虚轴的交点: ① 系统临界稳定点 \rightarrow [I] 劳斯判据全零行

② $s = j\omega$ 是 $D(s)$ 的根 \rightarrow [II] 代入方程得到 $D(j\omega) = 0$, 可以求得 ω 和 K^*

由实部和虚部均为 0 得到两个方程

8. 入射角和出射角: $\sum_{j=1}^m \angle(s - z_j) - \sum_{i=1}^n \angle(s - p_i)$

与零点所成角度和 与极点所成角度和

△ 一般结论: 若开环零极点为偶数个, 且它们关于一系平行于虚轴的直线对称, 则根轨迹一定关于该直线对称

4.6 特殊根轨迹：除 k^* 外其它函数变化时的系统根轨迹

1. 构造等价传递函数 $G^*(s)$

① 应满足 $n > m$

② 应使变化的量位于分子处

△ 当参数以倒数的形式存在时，令根轨迹反向即可

2. 零度根轨迹

① 幅值条件不变，相角条件变为 $\sum \angle(s-z_j) - \sum \angle(s-p_i) = 2k\pi$

② 改变的法则：实轴上的根轨迹 \rightarrow 从右到左偶数零极点与奇数零极点间

渐近线 \rightarrow 交点不变， $\varphi_c = \frac{2k\pi}{n-m}$

λ /开射角 $\rightarrow \sum \angle(s-z_j) - \sum \angle(s-p_i) = 2k\pi$

小结:根轨迹的画法

一、基本规律 (没有 m 个开环极点, n 个开环零点)

(一) 共有 $m-n$ 条根轨迹终结于无穷处

(二) 根轨迹始于极点终止于零点

(三) 实轴上奇数零极点和偶数零极点间是根轨迹

Δ 由相位规律推导得到, 当系统是单位正反馈时规律相反

(四) 分支数: 开环极点的数目

(五) 根之和: 实轴上根之和不变 ($n-m \geq 2$)

Δ 开环根之和始终不变, 但当 $n-m \geq 2$ 时, 闭环根之和 = 开环根之和 = 常数

(六) 渐近线

$$\sigma = \frac{\text{所有极点之和} - \text{所有零点之和}}{n-m}$$

$$\alpha = \frac{(2k+1)\pi}{n-m} \quad \text{一般取 } k=0, -1$$

Δ 由相位规律推导得到, 当系统是单位正反馈时 $\alpha = \frac{2k\pi}{n-m}$ 一般取 $k=0$

(七) 与虚轴交点

利用 $D(j\omega) = 0$ 得到实部为 0 虚部为 0 两个方程 \Rightarrow 得到 k 和 ω

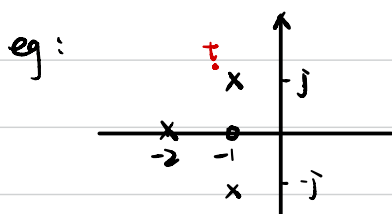
(八) 分离点

$$\sum \frac{1}{s-p_i} = \sum \frac{1}{s-z_j} \quad \text{当没有零点时, 右侧为 } 0$$

(九) 出射/入射角

取目标极点附近一点 $\Rightarrow \sum (s-z_j) - \sum (s-p_j) = (2k+1)\pi$

其中角度是从其它点看这个点



$$90^\circ - (\theta + 45^\circ + 90^\circ) = -180^\circ$$

$$\Rightarrow \theta = 135^\circ$$

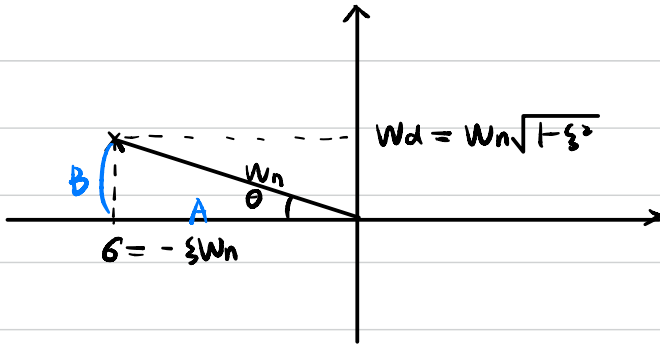
定理: 若仅有两个极点和一个零点, 则根轨迹一定是以零点为圆心的圆

二、根轨迹和系统性质关系

1. 二阶系统的根

$$\phi(s) = \frac{W_n^2}{s^2 + 2\xi W_n s + W_n^2} \Rightarrow S_{1,2} = -\xi W_n \pm W_n \sqrt{\xi^2 - 1}$$

讨论欠阻尼时有: $\xi < 0.1$



2. 动态指标

① 峰值时间 $t_p = \frac{\pi}{W_n \sqrt{1 - \xi^2}} = \frac{\pi}{B}$

② 超调量 $\sigma\% = e^{-\xi\pi / \sqrt{1 - \xi^2}} = e^{-\cot\theta \cdot \pi}$

③ 调节时间 $\left\{ \begin{array}{l} t_s = \frac{3}{\xi W_n} \quad (\Delta = 0.05) = \frac{3}{A} \\ t_s = \frac{4}{\xi W_n} \quad (\Delta = 0.02) = \frac{4}{A} \end{array} \right.$

3. 系统性质与根位置的关系

① 无超调量: 实轴上根轨迹

② 具有欠阻尼特性: 复平面除实轴上的部分

4.4 基于状态空间表达的稳定性分析

一、Lyapunov 稳定性定义

(一) 平衡状态

针对所有 t 满足 $\dot{x}_e = f(x_e, t) = 0$ 的状态的 x_e 称为平衡状态 (即 $Ax = 0$ 方程的解 x_e)

△ 当 A 是奇异矩阵时具有无穷多个平衡状态, A 是非奇异矩阵时具有唯一位于状态空间原点的解

(二) Lyapunov 意义下的稳定性

(三) 渐近稳定性 (经典控制理论中的稳定性定义)

不仅具有 Lyapunov 稳定性, 且有 $\lim_{t \rightarrow \infty} \|x(t; x_0, t_0) - x_e\| = 0$

当极限过程与初始时间 t_0 无关时, 称为一致稳定性

(四) (全局) 大范围渐近稳定性

当极限过程与初始位置 x_0 无关时, ...

注: 对于线性定常系统而言, 所有平衡点稳定性相同, 故只研究零点即可

对于线性定常系统, 一个系统渐近稳定, 则它一定大范围稳定

二、Lyapunov 第一法 (间接法)

定理 1: 对于线性定常系统, $\dot{x} = Ax$, $x(0) = x_0$, $t \geq 0$, 系统在唯一平衡状态 $x_e = 0$ 是

渐近稳定的充分必要条件是 A 的所有特征根具有负实部

$$|\lambda E - A| = 0 \Rightarrow \text{特征根}$$

三、Lyapunov 第二法 (直接法)

(一) 构造能量函数 $V(x)$, $V(x) > 0$ 因此为正定函数, 常用二次型 $x^T P x$, P 是实对称矩阵

1. 正定性: 除了原点外任意点有 $f(x) > 0$ 且 $f(0) = 0$

2. 半正定性: 除了原点和若干点满足 $f(x) = 0$ 外, 任意点有 $f(x) > 0$

(二) 大范围渐近稳定性判别定理 1 $\dot{V}(x) < 0$ 指能量衰减

$V(x)$ 正定, $\dot{V}(x)$ 负定, 则原点渐近稳定, 进而若 $\|x\| \rightarrow \infty$ 时, $V(x) \rightarrow \infty$, 则全局渐近稳定

(三) 大范围渐近稳定性判别定理 2

$V(x)$ 正定, $\dot{V}(x)$ 半负定, 则原点稳定, 进而若 $\dot{V}(x)$ 除原点外轨迹不恒为 0, 原点渐近稳定

进而若 $V(x)$ 在 $x \rightarrow \infty$ 时 $V(x) \rightarrow \infty$, 则原点全局渐近稳定

(四) 不稳定判别定理: $V(x)$ 和 $\dot{V}(x)$ 都正定

四、线性定常系统的稳定性判别

1. 状态方程 $\dot{x} = Ax$, 取二次型 $V(x) = x^T P x$

$$\dot{V}(x) = x^T (A^T P + P A) x = -x^T Q x$$

定义 $Q = -(A^T P + P A)$ Δ 由定理知 Q 是正定时, 即 $V(x)$ 负定时, 原点渐近稳定

2. 定理:

线性定常系统原点稳定的充要条件: 对任意正定矩阵 Q , 有唯一正定 P 使 $A^T P + P A = -Q$

常取 Q 为单位阵 I

五、线性定常离散系统

系统: $x(k+1) = \Phi x(k)$ ($x(0) = k_0$) Φ 是非奇异矩阵

充要条件:

① Φ 的所有特征值模小于 1

② 离散的 Lyapunov 方程: $\Phi^T P \Phi - P = -Q$, P 是正定矩阵

阶段性作业整理

第五章 线性系统的频域分析法 (讨论幅值和相角随频率的变化关系)

5.1 频率特性的表示形式和几何表示法

引入: 正弦输入 RC 系统时系统的输出

△ 不能用终值定理和静态误差系数法

$$\underbrace{u(t) = A \sin \omega t}_{\text{输入}} \quad \boxed{G(s)} \quad \underbrace{u_{cs}(t) = B \sin(\omega t - \alpha)}_{\text{输出}} \quad G(s) = \frac{1}{Ts+1}$$

1. 振幅比 $|G(j\omega)| = \frac{B}{A}$

2. 相位差 $\angle G(j\omega) = -\alpha = -\arctan(\omega T)$

3. 频率特性的定义:

(1) 物理意义: $G(j\omega) = |G(j\omega)| \angle G(j\omega)$

幅频特性为 $|G(j\omega)| = (\sqrt{1+\omega^2 T^2})^{-1}$

相频特性为 $\angle G(j\omega) = \angle c_s(t) - \angle r(t) = -\arctan(\omega T)$

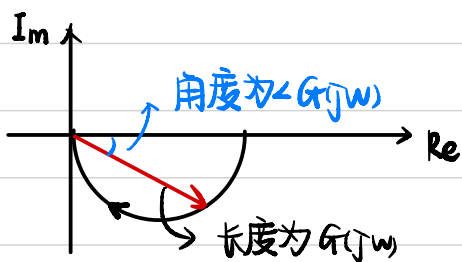
输出相角 输入相角

(2) 数学定义: $G(j\omega) = G(s) |_{s=j\omega}$

$$G(j\omega) = \frac{1}{Ts+1} |_{s=j\omega} = \frac{1}{1+j\omega T}$$

△ 说明: 频率特性由稳态分量确定, 但体现的是动态特性

一、几何表示法: 幅相频率特性 Nyquist 图



① $KG(s)$ 的幅相频率特性: 幅值度为 K 倍相角不变

② 点到原点的距离, 对应了幅度 $|G(j\omega)|$

二、波特图

1. 对数幅频

$$L(\omega) = 20 \lg |G(j\omega)|$$

2. 相频特性

$$\varphi(\omega) = \angle G(j\omega)$$

$$KG(j\omega) \rightarrow 20 \lg |KG(j\omega)| = 20 \lg |G(j\omega)| + 20 \lg |K| \quad \text{平移}$$

$$20 \lg |G_1(j\omega) \cdot G_2(j\omega)| = 20 \lg |G_1(\omega)| + 20 \lg |G_2(\omega)|$$

5.2 典型环节的频率特性图

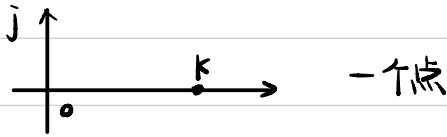
一、最小相位环节

1. 定义: 幅频特性相同的系统, 其中相位变化较小的称为...

2. 最小相位环节没有位于右半平面的零极点, 也没有延迟环节

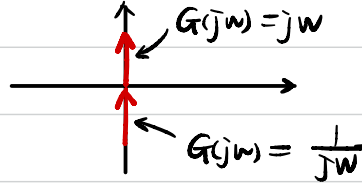
二、典型环节的幅相频率特性

(1) 比例环节 $G(s) = K$

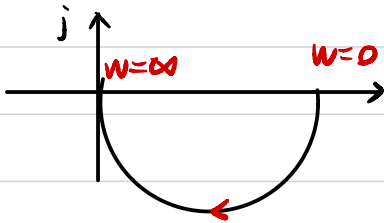


(2) 微分环节 $G(s) = s$

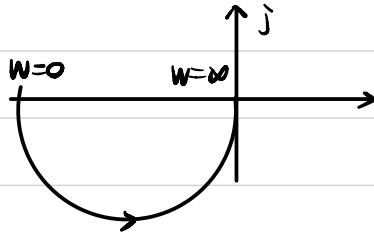
积分环节 $G(s) = s^{-1}$



(3) 惯性环节 $G(s) = \frac{1}{Ts+1}$



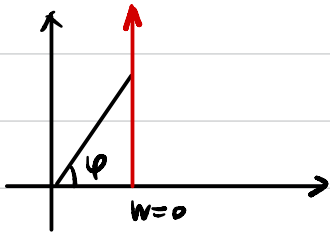
(4) 不稳定惯性环节 $G(s) = \frac{1}{Ts-1}$



$$\angle G = -\arctan \frac{wT}{1}$$

$$= -(180^\circ - \arctan wT)$$

(5) 一阶微分 $G(s) = Ts+1$



$$\angle G = \arctan wT$$

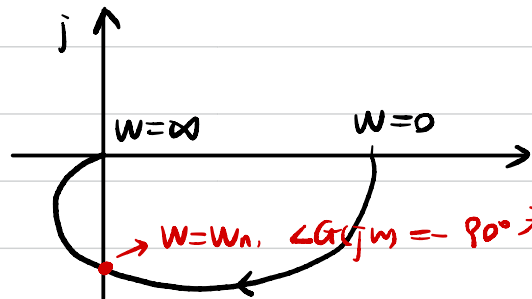
$$\Delta G(s) = Ts-1, \angle G(jw) = 180^\circ - \arctan wT$$

(6) 振荡环节

$$G(s) = \frac{w_n^2}{s^2 + 2\zeta w_n s + w_n^2} = \frac{w_n^2}{(s-\lambda_1)(s-\lambda_2)}$$

$$\Rightarrow G(jw) = \frac{1}{1 - \frac{w^2}{w_n^2} + j2\zeta \frac{w}{w_n}}$$

$$|G(jw)| = \left(\sqrt{\left(1 - \frac{w^2}{w_n^2}\right)^2 + \left(2\zeta \frac{w}{w_n}\right)^2} \right)^{-1}$$



$$\angle G = \begin{cases} -\arctan \frac{2\zeta \frac{w}{w_n}}{1 - \frac{w^2}{w_n^2}} \\ -90^\circ \\ -180^\circ + \arctan \dots \end{cases}$$

$w < w_n$ 时

$w = w_n$ 时

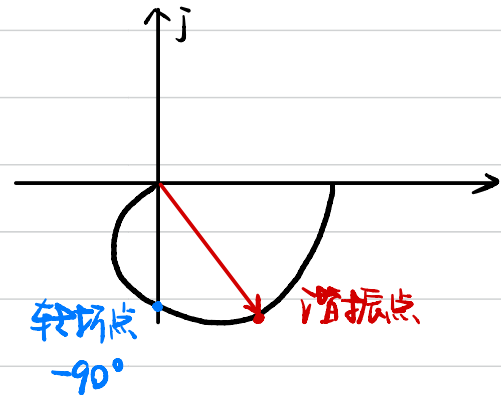
$w > w_n$ 时

振荡环节的谐振现象

① 幅值的最大值点称为谐振点 (点到原点的距离最大)

对应频率为 $\omega_r = \omega_n \sqrt{1-2\xi^2}$

对应峰值为 $M_r = \frac{1}{2\xi\sqrt{1-\xi^2}}$



② N 曲线与虚轴交点称为转折点

对应频率为 $\omega = \omega_n$

对应峰值为 $|G(j\omega)| = 1/2\xi$

对应相角为 $\angle G(j\omega) = -90^\circ$

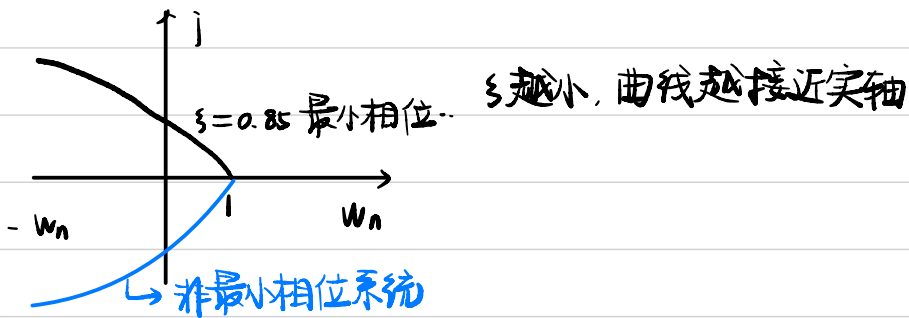
③ 存在的条件: $\xi < \frac{\sqrt{2}}{2}$ $\cos\theta = \xi$

(a) $\xi > \frac{\sqrt{2}}{2}$ 即 $\theta < 45^\circ$ 时, 不存在 ω_r

(b) $\xi = \frac{\sqrt{2}}{2}$ 即 $\theta = 45^\circ$ 时, $\omega_r = 0$, $M_r = 1$

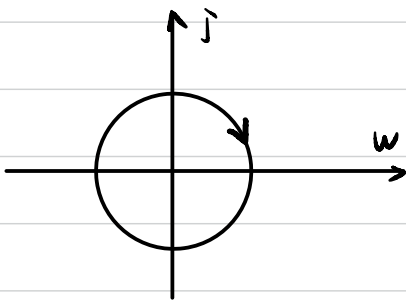
(c) ..

(7) 二阶微分 $G(s) = T^2 s^2 + 2\zeta T s + 1$



(8) 延迟环节 $G(s) = e^{-\tau s}$ 将时域信号延迟时间 τ

是非最小相位系统



三、根据开环传递函数求 Nyquist 图

起点: $K < 0^\circ$ $\infty < -90^\circ V$ ($V > 0$ 时)

终点: $0 < -90^\circ(n-m)$ ($n > m$ 时)

四、波特图

(一) 坐标特点: $20 \lg |G(j\omega)|$

1. dec: 十倍频程, 代表两个相差十倍的 ω 间距离 (3cm)

2. 变量是 ω , 但用 $\lg \omega$ 刻度

3. 20dB (1cm) 90° (1cm)

(二) 典型环节的波特图

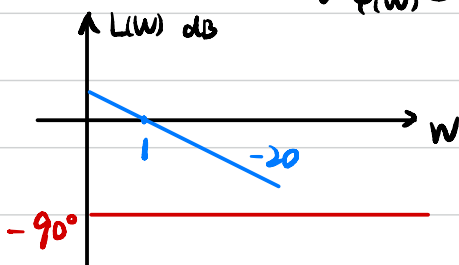
(1) 比例环节: $\begin{cases} L = 20 \lg K \\ \varphi = 0^\circ \end{cases}$



(2) 微分环节 $\begin{cases} L(\omega) = 20 \lg \omega \\ \varphi(\omega) = 90^\circ \end{cases}$ 图像以 $\lg \omega$ 刻度, 但变量为 ω



(3) 积分环节 $\begin{cases} L(\omega) = -20 \lg \omega \\ \varphi(\omega) = -90^\circ \end{cases}$



(4) 惯性环节 $G(j\omega) = \frac{1}{1+j\omega T}$

$L(\omega) = -20 \lg \sqrt{1+(\omega T)^2}$ \Rightarrow 斜率为 -20 dB/十倍频

$\angle G(\omega) = -\arctan \omega T$

① 在 $\omega = \frac{1}{T}$ 时, $L(\omega) = -3 \text{ dB}$, 此处简化误差最大

② 在 $\omega = \frac{1}{T}$ 时, $\angle G(\omega) = -45^\circ$

(5) 一阶微分 $G(j\omega) = 1+j\omega T$ 与惯性环节关于 ω 对称

(6) 二阶环节 $G(j\omega) = [1 - (\frac{\omega}{\omega_n})^2 + 2j\xi \frac{\omega}{\omega_n}]^{-1}$

$L(\omega) = -20 \lg \sqrt{(1 - \frac{\omega}{\omega_n})^2 + (2\xi \frac{\omega}{\omega_n})^2}$

$\angle G(j\omega) = -\arctan [2\xi \frac{\omega}{\omega_n} / (1 - \frac{\omega}{\omega_n})]$

① 谐振频率

$\omega_r = \omega_n \sqrt{1-2\xi^2}$

在 $\xi < \frac{\sqrt{2}}{2}$ 时才会有 ω_r

(7) 二阶微分 $G(j\omega) = \dots$ 与二阶环节关于 ω 轴对称

(8) 延迟环节 $G(s) = e^{-\tau s}$

$L(\omega) = 20 \lg 1 = 0$

$\angle G(j\omega) = -57.3^\circ \times \tau \omega$

弧度转角度

Δ 相角最终趋近于 $-90^\circ(n-m)$

最右端的斜率为 $-20^\circ(n-m)$

只给幅频特性

Nyquist 稳定性判据 (频域稳定性判据)

引理: 幅角定理

复平面一系不经过零极点的封闭曲线, 包含 Z 个零点 P 个极点

当 S 沿曲线顺时针转一圈时, 对应映射曲线 $|F(s)|$ 绕平面原

点转 $R = P - Z$ 圈 (逆时针)

一、辅助函数 $F(s)$

设 $G_H(s)$ 是系统的开环传递, 则取 $F(s) = 1 + G_H(s)$

1. $F(s)$ 的极点是开环极点

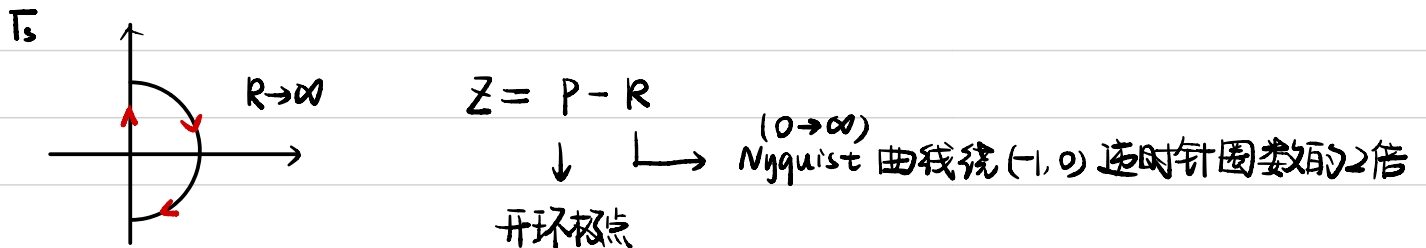
2. $F(s)$ 的零点是闭环极点

3. $F(j\omega) = 1 + G(j\omega)H(j\omega)$

Δ $F(j\omega)$ 绕原点 $R = P - Z$ 圈, 相当于 $G(j\omega)H(j\omega)$ 在全频段转 $(-1, j0)$ 转 R 圈

二、Nyquist 稳定性判据

1. $Z = P - R$ 是闭环不稳定极点的数量



2. Nyquist 稳定性判据 $Z = P - N$

Z : 右半平面闭环极点

P :

N :

三、Nyquist 图和波特图的对对应关系

1. Nyquist 单位圆对应 0dB 线, 圆外对应线上, 圆内对应线下

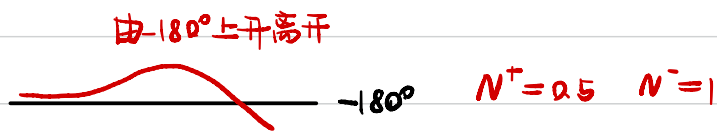
△ Nyquist 曲线与实轴交点在 $(-1, j0)$ 在例时对应 Bode 图在 0dB 以上

2. 实轴和相频曲线 -180° 对应

3. $(-1, j0)$ 左侧实轴对应 ① $L(\omega) > 0$ ② 相频 -180°

四、对象稳定性判据

$Z = P - 2N$ 其中 $N = N^+ - N^-$ 正穿越 - 负穿越



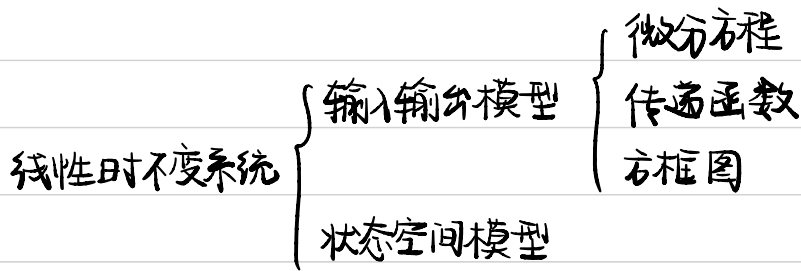
注: 1. 有积分环节时补充 Nyquist 曲线上的大圆, $\theta = 90^\circ \nu$

五、非最小相位系统

考虑穿越 $(k+1)\pi$ 的次数

第一章 基本概念

第二章 控制系统的数学模型



一、微分方程

(一) 定义: $F(s) = \int_{-\infty}^{\infty} e^{-st} f(t) dt$

$$f(t) = \frac{1}{2\pi j} \int_{\sigma-j\infty}^{\sigma+j\infty} F(s) e^{st} ds$$

(二) 性质: 1. 时移: $\mathcal{L}\{f(t-t_0)\} = F(s) \cdot e^{-ts}$

2. 相移: $\mathcal{L}\{e^{At} f(t)\} = F(s-A)$

3. 微分: ① $\mathcal{L}\{f'(t)\} = sF(s) - f(0)$

② $\mathcal{L}\{f''(t)\} = s^2 F(s) - sf(0) - f'(0)$

4. 初值定理: $\lim_{t \rightarrow 0} f(t) = \lim_{s \rightarrow \infty} sF(s)$

5. 终值定理: $\lim_{t \rightarrow \infty} f(t) = \lim_{s \rightarrow 0} sF(s)$

注意: 当终值存在时才能用

4. 积分: 略

(三) 常用变换

$f(t)$	$F(s)$
$\sin(\omega t)$	$\frac{\omega}{s^2 + \omega^2}$
$\cos(\omega t)$	$\frac{s}{s^2 + \omega^2}$
t	$1/s^2$
t^2	$2!/s^3$
1	$1/s$
t^n	$n!/s^{n+1}$
e^{at}	$\frac{1}{s-a}$

△题型 使用 Laplace 变换解微分方程

注: ① 注意初值条件

eg: $\frac{dy}{dt} + \frac{1}{2}y = 2+t$

$$\Rightarrow sY(s) - y(0) + \frac{1}{2}Y(s) = \frac{2}{s} + \frac{1}{s^2}$$

$$\text{即 } Y(s) = y(0) \cdot (\frac{1}{2} + s)^{-1} + \frac{1}{s^2}$$

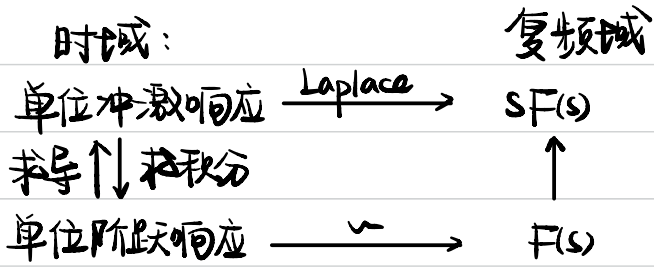
$$\Rightarrow y(t) = y(0)e^{-\frac{1}{2}t} + t$$

② Laplace 反变换

△ 留数法有应用条件, 应该用待定系数法

二、传递函数 $G(s)$

(一) $G(s)$ 和单位脉冲响应



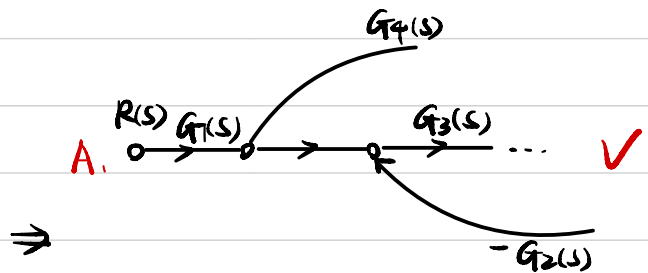
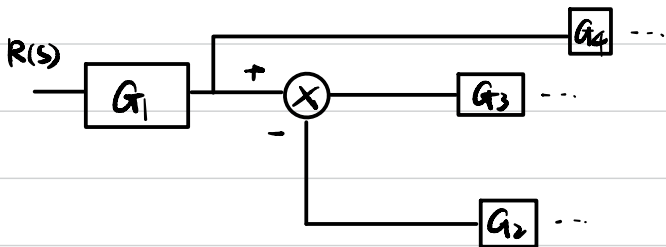
(二) 典型环节

1. 比例: $G(s) = K$
2. 积分: $G(s) = \frac{1}{s}$
3. 微分: $G(s) = Ts$
4. 一阶惯性: $G(s) = \frac{1}{Ts+1}$
5. 振荡环节: $G(s) = \frac{\omega_n^2}{s^2 + 2\zeta\omega_n s + \omega_n^2}$

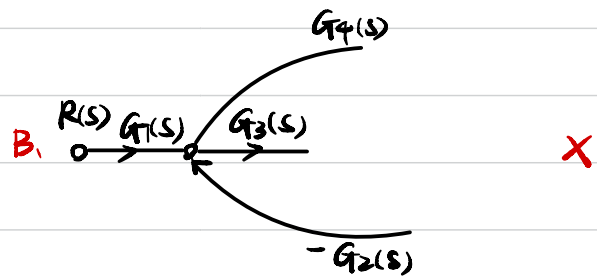
三、方框图、信号流图

△题型: 由方框图求信号流图

1. 信号流图的引出点对应的信号应单独列出



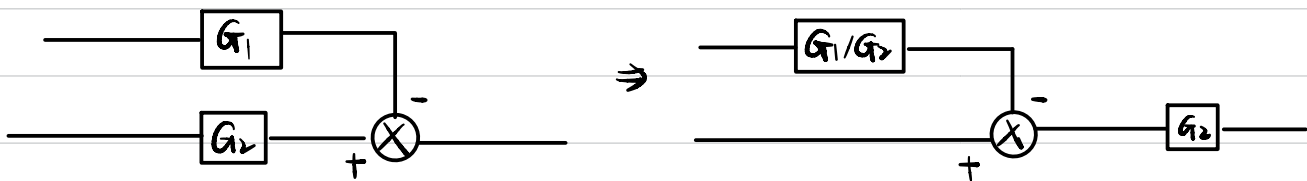
2. 反馈记得加符号



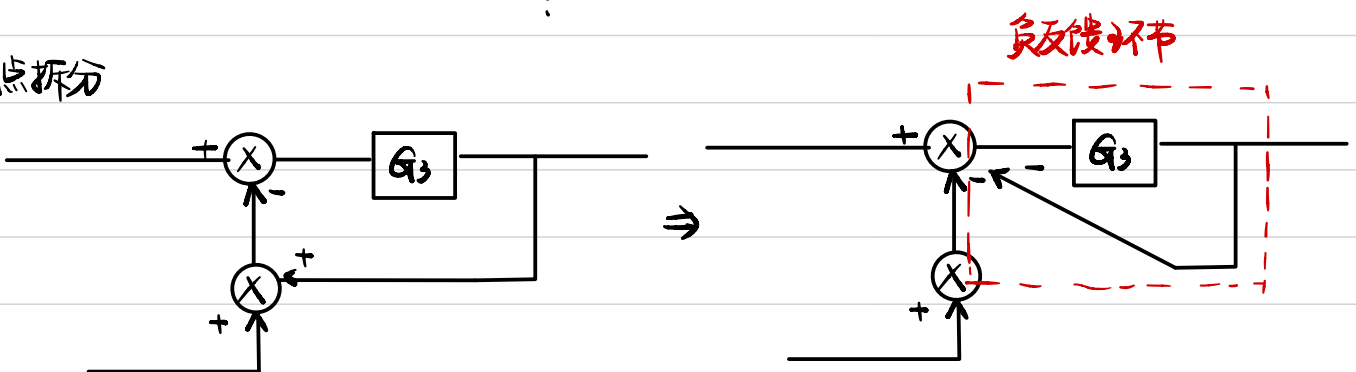
△题型: 化简方框图

1. 原则: 先化简相邻的比较点/引出点, 只有比较点和相邻点交替排列时才考虑分离

eg: 相加点前移, 相加点后移, 乘



2. 比较点拆分



△题型: 利用梅森公式求P

$$P = \frac{1}{\Delta} \sum P_k \Delta_k$$

1. 数回路个数 ① 从反馈开始处走路径
② 前馈处没有闭环

$$\Delta = 1 - \sum L_a + \sum L_a L_b - \sum L_a L_b L_c + \dots$$

互不接触两回路增益积

2. 数前向通路个数

P_i = 前向增益 Δ_i = 与前向通路所有不接触回路列写 Δ

求以干扰为输入的P: ① 注意是否引入新回路 ② 是否引入新前向通路

四. 状态空间模型

$$\begin{cases} \dot{X}(t) = AX(t) + BU(t) & A: \text{状态矩阵} \quad B: \text{输入矩阵} \\ Y(t) = CX(t) + DU(t) & C: \text{输出矩阵} \quad D: \text{前馈矩阵} \end{cases}$$

△题型: 根据实际物理系统选取状态变量并写状态空间表达式

利用力学和运动学公式建立微分方程, 选取一阶导或位移作为状态变量 (个数任意)

△题型: 由状态空间模型得到传递函数

$$\text{Laplace} \Rightarrow \begin{cases} SX(S) = AX(S) + BU(S) \\ Y(S) = CX(S) + DU(S) \end{cases}$$

得: $X(S) = (SI - A)^{-1} BU(S)$

$$\Rightarrow Y(S) / U(S) = C(SI - A)^{-1} B + D$$

即 $G(S) = C(SI - A)^{-1} B + D$

△题型: 由传递函数求状态空间模型

A. 分子为常数, 分母多项式

$$\text{eg: } G(s) = \frac{8}{s^3 + 7s^2 + 14s + 8} = \frac{Y(s)}{U(s)}$$

① 交叉相乘取反变换: $y'''(t) + 7y''(t) + 14y'(t) + 8y(t) = 8u(t)$

② 取 $n-1$ 个状态变量: $x_3 \quad x_2 \quad x_1$

$$\text{有: } \begin{bmatrix} \dot{x}_1 \\ \dot{x}_2 \\ \dot{x}_3 \end{bmatrix} = \begin{bmatrix} 0 & 1 & 0 \\ 0 & 0 & 1 \\ -8 & -14 & -7 \end{bmatrix} \begin{bmatrix} x_1 \\ x_2 \\ x_3 \end{bmatrix} + \begin{bmatrix} 0 \\ 0 \\ 1 \end{bmatrix} u(t)$$

$$\text{③ } y = [1 \ 0 \ 0] [x_1 \ x_2 \ x_3]^T$$

B. 分子为 m 次多项式, 分母是 m 次多项式

$$\text{eg: } G(s) = \frac{s^2 + 2s + 5}{s^3 + 2s^2 + 5s + 10}$$

① 用中间变量替代从而消除分子效应

$$\text{令 } \frac{X(s)}{U(s)} = \frac{1}{s^3 + 2s^2 + 5s + 10} \quad \text{则有 } Y(s) = X(s) \cdot (s^2 + 2s + 5) \quad \text{①}$$

② 沿用A情况: 令 $x_1 = x_1(t)$ $x_2 = x_1'(t)$ $x_3 = x_1''(t)$

$$\begin{bmatrix} \dot{x}_1 \\ \dot{x}_2 \\ \dot{x}_3 \end{bmatrix} = \begin{bmatrix} 0 & 1 & 0 \\ 0 & 0 & 1 \\ -10 & -5 & -2 \end{bmatrix} \begin{bmatrix} x_1 \\ x_2 \\ x_3 \end{bmatrix} + \begin{bmatrix} 0 \\ 0 \\ 1 \end{bmatrix} u(t)$$

③ 对①使用反变换:

$$y(t) = x_3''(t) + 2x_3'(t) + 5x_3(t)$$

$$\text{即: } y = [5 \ 2 \ 1] [x_1 \ x_2 \ x_3]^T$$

C. 由部分分式求 (无重根)

$$G(s) = \frac{1}{s-1} + \frac{2}{s-2} + \frac{3}{s-4}$$

① 设 $X_i = \frac{1}{s-\lambda_i} U(s)$

设 $X_1(s) = \frac{1}{s-1} U(s)$ $X_2(s) = \frac{1}{s-2} U(s)$ $X_3(s) = \frac{1}{s-4} U(s)$

② $Y(s) = X_1(s) + 2X_2(s) + 3X_3(s)$

$\Rightarrow y = [1 \ 2 \ 3] [x_1 \ x_2 \ x_3]^T$

③ 移位反变换: $sX_i(s) = \lambda_i X_i(s) + U(s)$
 $\hookrightarrow x_i'(t) = \lambda_i x_i(t) + u(t)$

从而有: $x_1'(t) = x_1(t) + u(t)$

$x_2'(t) = 2x_2(t) + u(t)$

$x_3'(t) = 4x_3(t) + u(t)$

$\Rightarrow \begin{bmatrix} x_1'(t) \\ x_2'(t) \\ x_3'(t) \end{bmatrix} = \begin{bmatrix} 1 & 0 & 0 \\ 0 & 2 & 0 \\ 0 & 0 & 4 \end{bmatrix} \begin{bmatrix} x_1(t) \\ x_2(t) \\ x_3(t) \end{bmatrix} + \begin{bmatrix} 1 \\ 1 \\ 1 \end{bmatrix} u(t)$

D. 由部分分式求 (有重根)

eg: $G(s) = \frac{4}{(s-1)^3} + \frac{2}{(s-1)^2} + \frac{1}{(s-1)} + \frac{13}{(s-4)}$

① 对于非重根: 设 $X_1(s) = \frac{1}{s-4} U(s)$

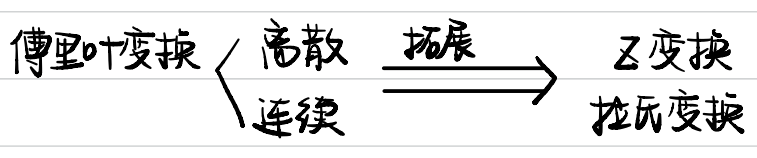
$X_2(s) = \frac{1}{s-1} U(s)$

对于重根: 设 $X_3(s) = \frac{1}{s-1} X_2(s)$

$X_4(s) = \frac{1}{s-1} X_3(s)$

② $y(t) = 4x_4(t) + 2x_3(t) + x_2(t) + 13x_1(t)$

③ $\begin{bmatrix} \dot{x}_1 \\ \dot{x}_2 \\ \dot{x}_3 \\ \dot{x}_4 \end{bmatrix} = \begin{bmatrix} 4 & 0 & 0 & 0 \\ 0 & 1 & 0 & 0 \\ 0 & 1 & 1 & 0 \\ 0 & 0 & 1 & 1 \end{bmatrix} \begin{bmatrix} x_1 \\ x_2 \\ x_3 \\ x_4 \end{bmatrix} + \begin{bmatrix} 1 \\ 1 \\ 0 \\ 0 \end{bmatrix} u(t)$



一、Z变换

1. 定义: $Z(x(n)) = x(0) + x(1)Z^{-1} + \dots + x(n)Z^{-n}$

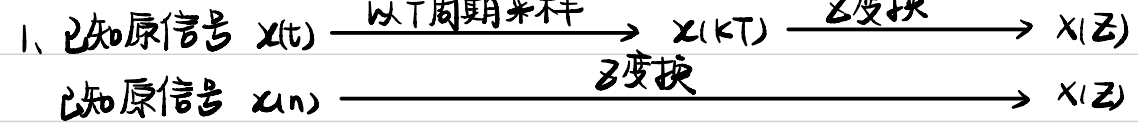
2. 性质: 移位性质

- $Z[x(t-nT)] = Z^{-n}X(Z)$
- $Z[x(t+nT)] = Z^n[X(Z) - \sum_{k=0}^{n-1} x(kT) \cdot Z^{-k}]$

3. Z变换公式表

$x(t)$	$\xrightarrow[t \text{ 采样}]{t=kT}$	$X(Z)$
e^{-at}	$\xrightarrow{\text{Z变换}}$	$\frac{Z}{Z - e^{-aT}}$
t		$\frac{TZ}{(Z-1)^2}$
1		$\frac{TZ}{(Z-1)}$
a^t		$\frac{Z}{Z-a}$

二、Z反变换和 $x(t)$, $x^*(t)$ 间关系



eg: $x(t) = t (t > 0)$

$Z(x(t)) = Z(x(kT)) = \sum_{k=0}^{\infty} (kT) \cdot Z^{-k}$

$\frac{X(Z)}{-Z} = T(\sum_{k=0}^{\infty} (k+1)Z^{-k-1}) = T(Z \cdot Z^{-k})'$

= ...

2. 已知Z变换后信号 $G(Z)$ $\xrightarrow{\text{Z反变换}}$ $x^*(t) = \sum_{k=0}^{\infty} x(kT) \delta(t-kT)$

* 求反变换应先得到 $X(kT)$, 再加求和符号拓展

三、差分方程

△题型: 使用Z变换解差分方程

1. $Z[X(k+n)] = z^n [X(z) - \sum_{k=0}^{n-1} z^{-k} X(k)]$ * 初值条件

① $Z[X(k+2)] = z^2 [X(z) - X(0) - X(1)z^{-1}]$

② $Z[X(k+1)] = z [X(z) - X(0)z^0]$

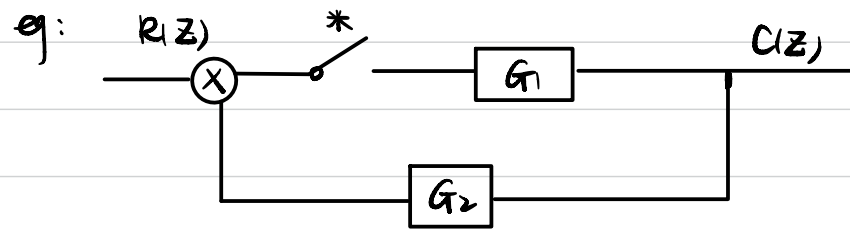
2. Z反变换后应写成 $x^*(t) = \sum_{k=0}^{\infty} X(kT) \delta(t-kT)$ 的形式

四、脉冲传递

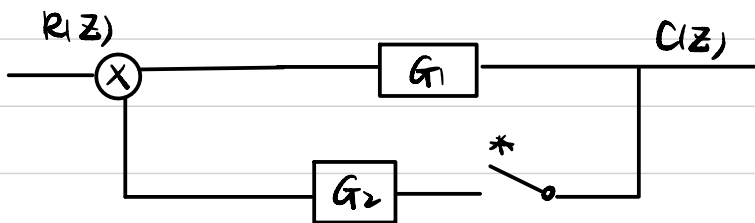
△题型: 根据框图写系统传递

* 取决于环节间是否有采样开关

若误差处没有采样开关, 则不能写出脉冲传递



$$\Rightarrow \Phi(z) = \frac{C(z)}{R(z)} = \frac{G_1(z)}{1 + G_1(z)G_2(z)}$$



$$\Rightarrow C(z) = \frac{R G_1(z)}{1 + G_1(z)G_2(z)} \quad \text{不可分离 } R(z)$$

△题型: 差分方程和离散状态方程间相互转化
与连续系统类似

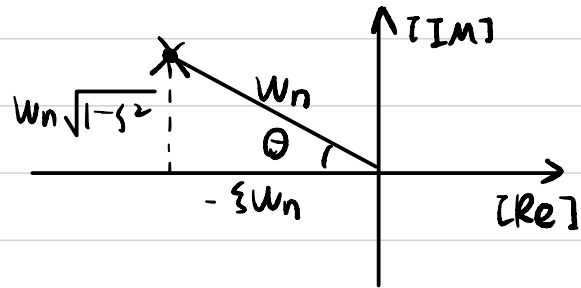
$$\begin{cases} x(k+1) = Gx(k) + Hu(k) \\ y(k) = Cx(k) + Du(k) \end{cases}$$

第三章 系统的响应和分析 [基于传函]

一、二阶系统无零点阶跃响应

$$G(s) = \frac{\omega_n^2}{s(s+2\zeta\omega_n)} \quad \text{闭环传函 } \Phi(s) = \frac{\omega_n^2}{s^2+2\zeta\omega_n s+\omega_n^2}$$

$$\text{根为: } s = -\zeta\omega_n \pm \sqrt{\zeta^2-1} \cdot \omega_n$$



1. 欠阻尼: 动态性能指标 ($0 < \zeta < 1$)

$$\textcircled{1} \text{ 超调量: } \sigma\% = e^{-\frac{\zeta\pi}{\sqrt{1-\zeta^2}}} \times 100\%$$

$$\textcircled{2} \text{ 峰值时间: 第一次到达最大值的时间 } t_p = \frac{\pi}{\omega_n\sqrt{1-\zeta^2}}$$

$$\textcircled{3} \text{ 调节时间: } T_s = \frac{4}{\zeta\omega_n} \quad (2\%)$$

$$T_s = \frac{3}{\zeta\omega_n} \quad (5\%)$$

$$\textcircled{4} \text{ 上升时间: } T_r = \frac{\pi - \varphi}{\omega_n\sqrt{1-\zeta^2}} \quad \text{其中 } \varphi = \arccos\zeta$$

2. 临界阻尼 ($\zeta=1$) 等幅振荡

3. 过阻尼 ($\zeta>1$) 不振荡

4. 负阻尼 ($\zeta<0$) 发散振荡

二、二阶有零点系统阶跃响应

$$\text{1. 零点加入方式: } G(s) = \frac{\omega_n^2(zs+1)}{s^2+2\zeta\omega_n s+\omega_n^2} = \frac{\omega_n^2(s+z)}{z(s^2+2\zeta\omega_n s+\omega_n^2)} \quad \text{即 } z = \frac{1}{\tau}$$

$$\text{eg: 加入右侧平面零点 } z=1 \Rightarrow G(s) = \frac{\omega_n^2(s-1)}{(-1)(s^2+2\zeta\omega_n s+\omega_n^2)}$$

$$\text{2. 动态性能指标: } \lambda, l = \sqrt{z^2-2\zeta\omega_n z+\omega_n^2} \quad \psi = \arctan\left(\frac{\omega_n\sqrt{1-\zeta^2}}{z-\zeta\omega_n}\right)$$

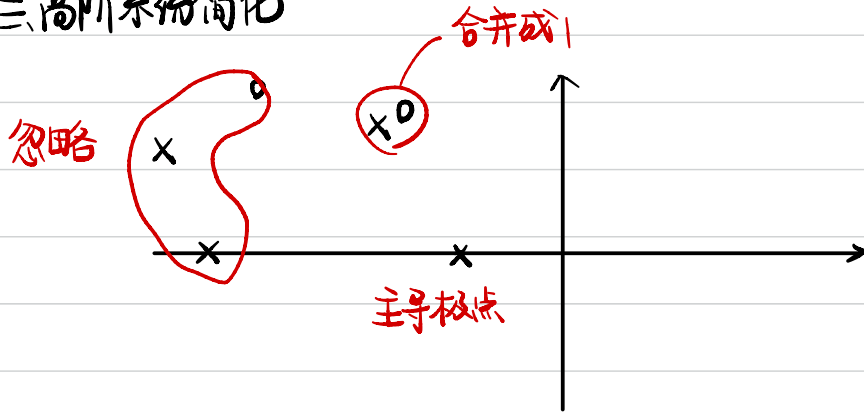
$$\textcircled{1} \sigma\% = \frac{l}{z} e^{\frac{\psi\zeta}{\sqrt{1-\zeta^2}}} \cdot e^{-\frac{\pi\zeta}{\sqrt{1-\zeta^2}}} \times 100\%$$

$$\textcircled{2} t_p = \frac{\pi - \psi}{\sqrt{1-\zeta^2} \cdot \omega_n}$$

$$\textcircled{3} t_r = \frac{\pi - \varphi - \psi}{\omega_n\sqrt{1-\zeta^2}} \quad \varphi = \arctan\left(\frac{\sqrt{1-\zeta^2}}{\zeta}\right)$$

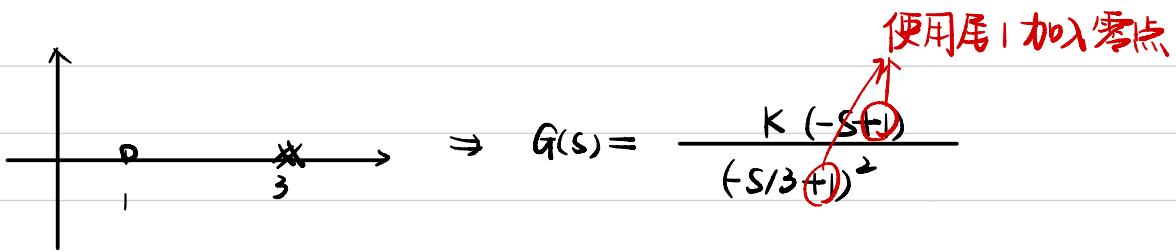
$$\textcircled{4} T_s = \frac{3}{\zeta\omega_n} - \frac{1}{\zeta\omega_n} \ln \frac{l}{z} \quad T_s = \frac{4}{\zeta\omega_n} - \frac{1}{\zeta\omega_n} \ln \frac{l}{z}$$

三、高阶系统简化



四、离散系统

* 加零点问题:



第三章 系统时域响应分析 [基于状态空间]

连续

$$\dot{x}(t) = Ax(t) + Bu(t)$$

$$y(t) = Cx(t) + Du(t)$$

一、解方程: Laplace 变换

$$sX(s) - x(0) = AX(s) + BU(s)$$

$$\Rightarrow X(s) = (sI - A)^{-1} [x(0) + BU(s)]$$

二、零输入响应: $u(t) = 0$ 即 $\dot{x}(t) = Ax(t)$

令 $e^{At} = \mathcal{L}^{-1}[(sI - A)^{-1}]$, 称为指数矩阵

三、系统转移矩阵 $\phi(t) = e^{At}$

定义: $x(t) = \phi(t) \cdot x(t_0)$

Δ 题型: 求系统的转移矩阵 $\phi(t) = e^{At}$

① $e^{At} = \mathcal{L}^{-1}[(sI - A)^{-1}]$

② 特征值分解法

Δ 题型: 求连续系统的输出 (已知 A, B)

$$X(s) = (sI - A)^{-1} [x(0) + BU(s)]$$

拉氏逆变换

$$x(t)$$

离散

$$x(k+1) = Gx(k) + Hu(k)$$

$$y(k+1) = Cx(k) + Du(k)$$

一、解方程: Z 变换

$$zX(z) - zX(0) = GX(z) + HU(z)$$

$$\Rightarrow X(z) = (zI - G)^{-1} [zX(0) + HU(z)]$$

二、对应关系:
$$\begin{cases} G = e^{AT} \\ H = (\int_0^T e^{At} dt) B \end{cases}$$

Δ 题型: 系统离散方程

$$G = e^{AT} \quad H = (\int_0^T e^{At} dt) B$$

$$\Rightarrow y(k+1) = Gx(k) + Hu(k)$$

Δ 题型: 求离散系统输出 (已知 A, B)

① 由 A, B 求 G, H

② $X(z) = (zI - G)^{-1} [zX(0) + HU(z)]$

Z 逆变换

$$x(k)$$

系统的稳定性: Routh 判据

一、LTI 系统

1. 充要条件: 系统的所有闭环极点位于虚轴左侧

2. 必要条件: 特征方程所有系数大于 0

3. Routh 判据

① 首项为 0 其余不为 0 行: 不稳定

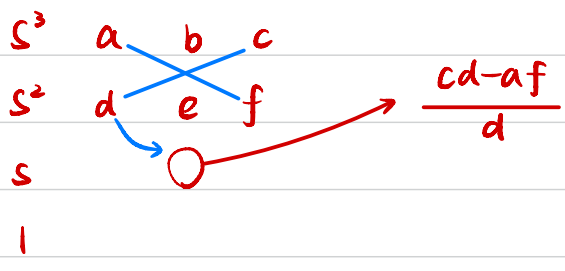
利用 $\epsilon > 0$ 代替 0, 正常列写, 再令 $\epsilon \rightarrow 0$, 观察变号次数 \Rightarrow 确定极点个数

② 全零行: 临界稳定

利用上一行构造特征方程 $\xrightarrow{\text{求导}}$ 系数作为下一行系数
 解为一对复数根 \rightarrow 虚部对应振荡频率

③ 求位于 $s = -1$ 右侧极点个数: 用 $s = z - 1$ 替代原方程

④ * 计算顺序



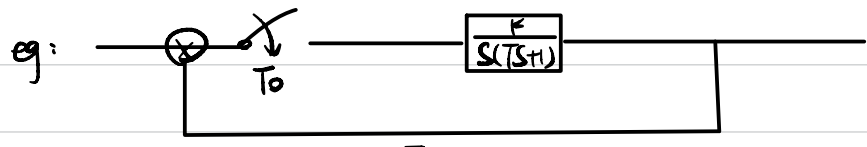
二、离散系统的 Routh 判据

1. 充要条件: 闭环脉冲传递函数所有极点位于单位圆内

2. Routh 判据:

① 对 $G(s)$ 进行 Z 变换获得 $G(z)$ Δ 注意采样周期 T 。

② 增益和采样周期对离散系统稳定性的影响: K 大 T 大 稳定性差



$$G(z) = ZG(s) = K \left(\frac{z}{z-1} - \frac{z}{z - e^{-T_0/T}} \right)$$

② 利用 $z = \frac{w+1}{w-1}$ 进行映射

③ 同线性系统

④ 对于同一个框图, 连续和离散系统稳定性没有联系

先判断稳定性

小结: 计算系统误差

一、连续系统的误差

(一) 基本方法

1. 判断系统的稳定性

使用劳斯判据判断稳定性 \Rightarrow 先算闭环传递函数, 再得到特征方程

\ast 开环传递函数整理成 " $ks+1$ " 的形式, 从而得到系统的型别和开环增益的 K

2. 得到误差传递函数 Φ_{ef}

① 对于单位反馈系统, 若其开环传递函数为 $G(s)$, 则 $\Phi_{ef} = \frac{1}{1+G(s)}$

② 对于一般的系统, 列出 $Y(s)$, $E(s)$, $R(s)$ 关系式, 再利用 $E(s) = R(s) - Y(s)$ 消元

3. 判断使用终值定理的条件

$\lim_{s \rightarrow 0} sE(s)$ 的所有极点都位于坐标系的左半平面 (包括坐标原点)

4. 利用终值定理得到稳态误差

$$e_{ss} = \lim_{s \rightarrow 0} s \Phi_{ef} \cdot F(s) = \lim_{s \rightarrow 0} sE(s)$$

(二) 静态误差系数法

1. 判断系统的稳定性

使用劳斯判据判断稳定性 \Rightarrow 先算闭环传递函数, 再得到特征方程

2. 系统对于输入响应的误差

$e(t)$	$E(s)$	误差	0	I	II	
$A(t)$	A/s	$\frac{A}{1+K_p}$	0	0		$K_p = \lim_{s \rightarrow 0} G(s)$
At	A/s^2	∞	$\frac{A}{K_v}$	0		$K_v = \lim_{s \rightarrow 0} sG(s)$
$\frac{1}{2}At^2$	A/s^3	∞	∞	$\frac{A}{K_a}$		$K_a = \lim_{s \rightarrow 0} s^2G(s)$

注: ① 输入信号为 $e(t) = t^2$ 时, $A=2$

② 将开环传递函数整理为标准形式后, 分子的开环增益即为 $K_p / K_v / K_a$

二、离散系统的稳态误差

△ 采样开关在 $E(s)$ 处才能讨论稳态误差

(一) 一般方法

1. 利用开环传函 $G(s)$ 做 Z 变换得到 $G(z)$ (与采样时间有关)

① $G(s)$	$g(t)$	$G(z)$
$1/s$	$u(t)$	$\frac{z}{z-1}$
$1/s^2$	$1/t$	$\frac{Tz}{(z-1)^2}$
$2/s^3$	$1/t^2$	$\frac{T^2 z(z+1)}{(z-1)^3}$

② 时移性质: $\begin{cases} t(e^{t-t_0}) = e^{-st_0} E(s) \\ z(x(n-m)) = e^{-m} X(z) \end{cases}$

* eg: $T=0.25, G(s) = \frac{ze^{-0.5s}}{s^2}$ 求 $G(z)$

$$g(t) = \frac{1}{(t-0.5)} \xrightarrow[\text{延迟2点}]{\text{延迟0.5s}} g(n) = \frac{1}{n-2}$$

$$G(z) = z^{-2} \cdot \frac{z}{(z-1)^2}$$

③ 零阶保持器

$$G(s) = \frac{1-e^{-sT}}{s}$$

性质: $Z(G(s)H(s)) = (1-z^{-n}) \cdot Z\left(\frac{H(s)}{s}\right)$

2. 利用终值定理计算

对于单位反馈系统, $\Phi_{ef}(z) = \frac{1}{1+G(z)}$

$$e_{ss} = \lim_{z \rightarrow 1} (z-1) \cdot \Phi_{ef}(z) \cdot F(z)$$

(二) 静态误差系数法

1. 判断系统的稳定性

得到特征方程, 利用 $z = \frac{w+1}{w-1}$ 替换, 再用劳斯判据

2. 由 $G(s)$ 得到 $G(z)$, 从而得到系统的型和开环增益

$z-1$ 的次数即为系统型数

3. 系统的误差响应 (与采样周期有关)

输入 $r(t)$	0	I	II	
A	$\frac{A}{1+K_p}$	0	0	$K_p = \lim_{z \rightarrow 1} G(z)$
At	∞	$\frac{AT}{K_v}$	0	$K_v = \lim_{z \rightarrow 1} (z-1)G(z)$
$\frac{1}{2}At^2$	∞	∞	$\frac{AT^2}{K_a}$	$K_a = \lim_{z \rightarrow 1} (z-1)^2 G(z)$

补: 动态误差系数法

[连续系统]

$$e_{ss}(t) = c(0) + c(1)r'(t) + c(2)r''(t) + \dots$$

其中 $c(n)$ 用长除法得到

eg: $G(s) = \frac{100}{s(0.1s+1)}$ $r(t) = 1(t) + 2t + t^2$, 求 $e_{ss}(t)$

解: 误差传函为 $\Phi_e(s) = \frac{s(0.1s+1)}{s(0.1s+1)+100}$

$$100 + s + 0.1s^2 \overline{) \begin{array}{l} 0.01s + 0.0009s^2 + \dots \\ \underline{0.01s} \\ S + 0.1s^2 \\ \underline{S + 0.01s^2 + 0.001s^3} \\ 0.09s^2 - 0.001s^3 \\ \underline{0.09s^2 + 0.0009s^3 + 0.00009s^4} \\ 0.0001s^3 - 0.00009s^4 \end{array}}$$

即 $c(0) = 0$ $c(1) = 0.01$ $c(2) = 0.0009$

$$\Rightarrow e_{ss} = 0 \cdot r(t) + 0.01 \cdot (2+2t) + 0.0009 \times 2 = 0.0218 + 0.02t$$

[离散系统]

$$e_{ss}(kT) = c_0 \cdot r(kT) + c_1 r'(kT) + c_2 r''(kT) + \dots$$

其中: $c_n = \frac{1}{n!} \left. \frac{d^n \Phi_e^*(s)}{ds^n} \right|_{s=0}$

eg: 误差传函 $\Phi_e(z) = \frac{z^2 - 1.368z + 0.368}{z^2 - z + 0.632}$ $r(t) = \frac{1}{2}t^2$

$$\Phi_e^*(s) = \Phi_e(z) \Big|_{z=e^{Ts}} = \frac{e^{2Ts} - 1.368e^{Ts} + 0.368}{e^{2Ts} - e^{Ts} + 0.632} \quad (T=1)$$

$$c(0) = \Phi_e^*(s) \Big|_{s=0} = 0$$

$$c(1) = (\Phi_e^*(s))' \Big|_{s=0} = 1$$

$$\Rightarrow e_{ss}(kT) = 0 \cdot r(kT) + r'(kT) + \frac{1}{2} r''(kT)$$

$$c(2) = \frac{1}{2!} (\Phi_e^*(s))'' \Big|_{s=0} = \frac{1}{2}$$

$$= kT + 0.5$$

小结:根轨迹的画法

一、基本规律 (没有 m 个开环极点, n 个开环零点)

(一) 共有 $m-n$ 条根轨迹终结于无穷处

(二) 根轨迹始于极点终止于零点

(三) 实轴上奇数零极点和偶数零极点间是根轨迹

Δ 由相位规律推导得到, 当系统是单位正反馈时规律相反

(四) 分支数: 开环极点的数目

(五) 根之和: 实轴上根之和不变 ($n-m \geq 2$)

Δ 开环根之和始终不变, 但当 $n-m \geq 2$ 时, 闭环根之和 = 开环根之和 = 常数

(六) 渐近线

$$\sigma = \frac{\text{所有极点之和} - \text{所有零点之和}}{n-m}$$

$$\alpha = \frac{(2k+1)\pi}{n-m} \quad \text{一般取 } k=0, -1$$

Δ 由相位规律推导得到, 当系统是单位正反馈时 $\alpha = \frac{2k\pi}{n-m}$ 一般取 $k=0$

(七) 与虚轴交点

利用 $D(j\omega) = 0$ 得到实部为0虚部为0两个方程 \Rightarrow 得到 k 和 ω

(八) 分离点

$$\textcircled{1} \sum \frac{1}{s-p_i} = \sum \frac{1}{s-z_j} \quad \text{当没有零点时, 右侧为0}$$

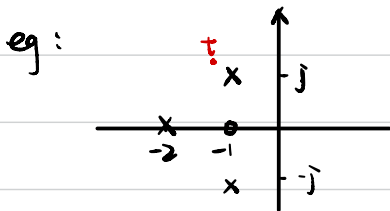
将分离点代入 $D(s)$ 得到 k

$$\textcircled{2} d(D(s))/ds = 0 \quad \text{当分母仅有 } k \text{ 时适用}$$

(九) 出射/入射角

$$\text{取目标极点附近一点} \Rightarrow \sum (s-z_j) - \sum (s-p_j) = (2k+1)\pi$$

其中角度是从其它点看这个点



$$90^\circ - (\theta + 45^\circ + 90^\circ) = -180^\circ$$

$$\Rightarrow \theta = 135^\circ$$

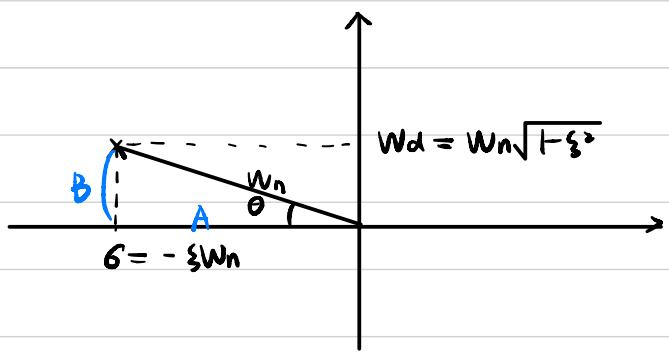
定理: 若仅有两个极点和一个零点, 则根轨迹一定是以零点为圆心的圆

二、根轨迹和系统性质关系

1. 二阶系统的根

$$\phi(s) = \frac{W_n^2}{s^2 + 2\xi W_n s + W_n^2} \Rightarrow S_{1,2} = -\xi W_n \pm W_n \sqrt{\xi^2 - 1}$$

讨论欠阻尼时有: $\xi < 0.1$



2. 动态指标

① 峰值时间 $t_p = \frac{\pi}{W_n \sqrt{1-\xi^2}} = \frac{\pi}{B}$

② 超调量 $\sigma\% = e^{-\xi\pi/\sqrt{1-\xi^2}} = e^{-\cot\theta \cdot \pi}$

③ 调节时间 $t_s = \frac{3}{\xi W_n} (\Delta = 0.05) = \frac{3}{A}$
 $t_s = \frac{4}{\xi W_n} (\Delta = 0.02) = \frac{4}{A}$

($n-m \geq 2$)

4. 利用根之和求稳态特定值时的K

① 使用根之和得到 $-2\xi W_n + Root = Const$

$\Rightarrow Root = C + 2\xi W_n$

② 闭环改写成

$$\frac{1}{(s^2 + 2\xi W_n s + W_n^2)(s - Root)} = 0$$

③ $D(s) = (s^2 + 2\xi W_n s + W_n^2)(s - Root)$

对应项相等 $\Rightarrow W_n$

eg: PPT 13-2 P21 题

3. 系统性质与根位置的关系

① 无超调量: 实轴上根轨迹

② 具有欠阻尼特性: 左平面除实轴上的部分

三、零度根轨迹 (单位正反馈)

改变: 渐近线的角度 $\theta = \frac{2k\pi}{n-m}$, 由于是射线, 最终走向会改变

入射角和反射角 $\angle z - \angle p = 2k\pi$, 由于出发点和相角条件变化, 出发点和反射角都变

Lyapunov 稳定性

一、概念

1. 稳定性: 对平衡状态 x_e , 最后收敛于 $S(\delta)$
2. 渐近稳定性: 最后收敛于 x_e
- Δ 一致渐近稳定性: 一致指的是与时间无关
3. 全局(大范围)渐近稳定性: 初始状态扩展到全空间

线性系统: $\left\{ \begin{array}{l} \text{稳定} \longrightarrow \text{-致稳定} \\ \text{渐近稳定} \longrightarrow \text{全局渐近稳定} \longrightarrow \text{全局渐近一致稳定} \end{array} \right.$

二、系统的稳定性 定常 * 均对于平衡位置是原点而言

(一) 第一法: $\dot{x} = Ax$ 线性系统渐近稳定 \iff A 所有特征值有负实部

(二) 第二法:

1. 对于非线性定常系统构造 $V(x)$

- | | | |
|---|----------|----------|
| ① $V(x)$ 正定 | } 原点渐近稳定 | } 全局渐近稳定 |
| ② $\dot{V}(x)$ 负定 | | |
| ③ $\ x\ \rightarrow \infty$ 时, $V(x) \rightarrow \infty$ | | |

2. 对于非线性定常系统构造 $V(x)$

- | | | | |
|---|------|--------|----------|
| ① $V(x)$ 正定 | } 稳定 | } 渐近稳定 | } 全局渐近稳定 |
| ② $\dot{V}(x)$ 半负定 | | | |
| ③ 除原点外不恒为 0 | | | |
| ④ $\ x\ \rightarrow \infty$ 时, $V(x) \rightarrow \infty$ | | | |

3. 对于非线性定常系统构造 $V(x)$

- | | |
|-------------------|-------|
| ① $V(x)$ 正定 | } 不稳定 |
| ② $\dot{V}(x)$ 正定 | |

(三) 线性系统构造 $V(x)$:

$$A^T P + PA = -E, \quad E \text{ 是单位阵}$$

P 正定 ($\lambda_i > 0$) 则渐近稳定

三. Summary 渐近稳定的充要条件

线性定常系统 { 所有特征值具有负实部
构造 $A^T P + PA = -E$ 后, P 正定

线性定常离散系统 { 所有特征值模小于1
构造 $\Phi^T P \Phi - P = -E$ 后, P 正定

频域分析

一、画非典型环节的Nyquist图:

所有零点角度 - 极点角度

$\omega=0$ 时 ① $|G(j\omega)| = G(s)|_{s=0}$ 一般 $n>m$ 时为 ∞ ② $\angle G(j\omega) = \angle Z - \angle P$

$\omega=0^+$ 时 ① $|G(j\omega)| = G(s)|_{s=0}$ 一般 $n>m$ 时为 ∞ ② $\angle G(j\omega) = -90^\circ \cdot \nu$

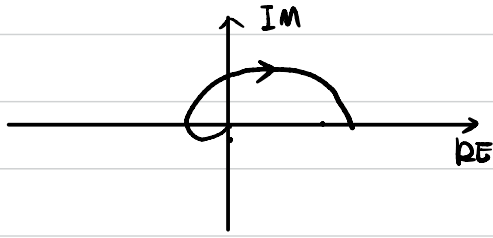
$\omega=\infty$ 时 ① $|G(j\omega)|$ 一般为 0 ② $\angle G(j\omega) = -90^\circ \cdot (n-m)$

eg: $G(s) = \frac{1}{s^3(s+2)(s+1)(s+5)}$

$\omega=0: |G(j\omega)| = \infty, \angle G(j\omega) = -90^\circ \times (-3) = 270^\circ$

$\omega=\infty: |G(j\omega)| = 0, \angle G(j\omega) = 0^\circ$

分别由 $G(j\omega)$ 实部虚部为 0 可以得到交点

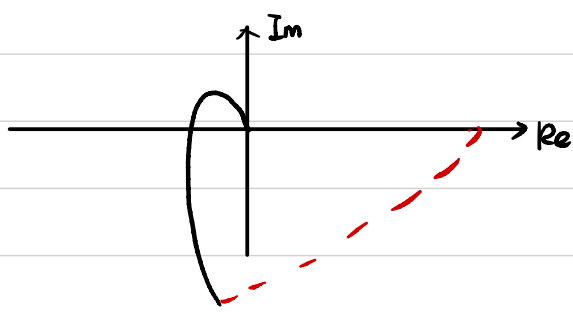


eg: $G(s) = \frac{2(s+1)}{s(0.5s+1)(s^2+2.9s+1)}$

$\omega=0: |G(j\omega)| = \infty, \angle G(j\omega) = 0^\circ$

$\omega=0^+: |G(j\omega)| = \infty, \angle G(j\omega) = -90^\circ$

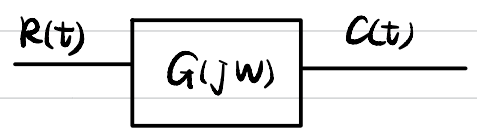
$\omega=\infty: |G(j\omega)| = 0, \angle G(j\omega) = -270^\circ$



二、 $G(j\omega)$ 的意义:

由闭环传递函数 $G(s)$ 令 $s=j\omega$ 得到 $G(j\omega)$

- $|G(j\omega)| = \frac{B}{A}$, 输出的幅值和输入的幅值比值
- $\angle G(j\omega) =$ 输出信号的相角 - 输入信号的相角

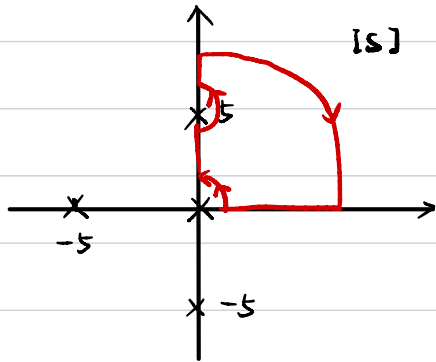


※ 计算 $G(j\omega)$: 注意实部为负数时加入 180° 补偿

eg: $G(s) = \frac{1}{Ts-1} \Rightarrow G(j\omega) = -(180^\circ - \arctan \omega T) = -180^\circ + \arctan \omega T$

eg: $G(s) = \frac{1000}{s(s^2 + 5s)(0.2s + 1)}$

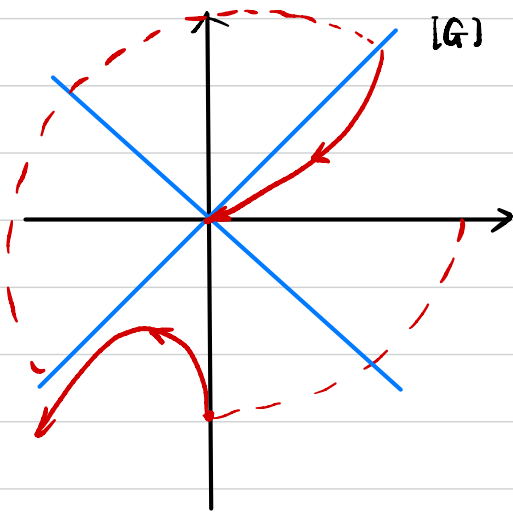
*有虚轴极点时相角跃变



$\omega = 0$	$\angle G(j\omega) = 0^\circ$
$\omega = 0^+$	$\angle G(j\omega) = -90^\circ$
$\omega = 5^-$	$\angle G(j\omega) = -135^\circ$
$\omega = 5^+$	$\angle G(j\omega) = -315^\circ$
$\omega = \infty$	$\angle G(j\omega) = -360^\circ$

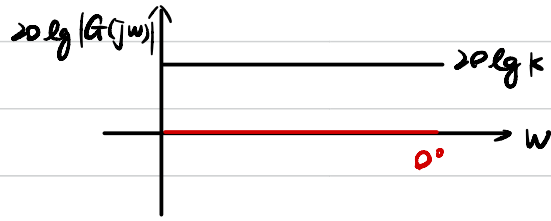
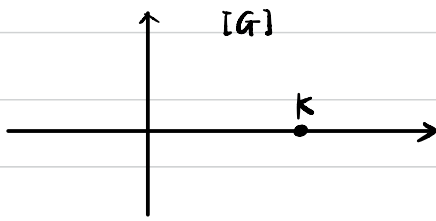
$|G(j\omega)|$

∞
∞
∞
∞
0

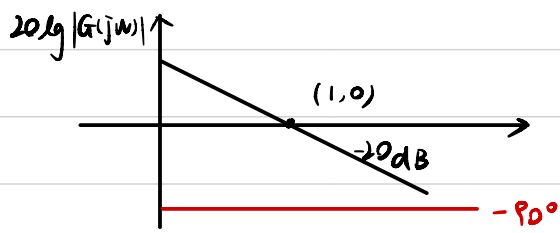
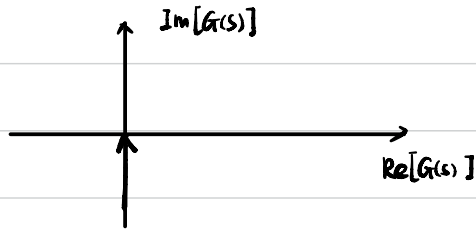


典型环节

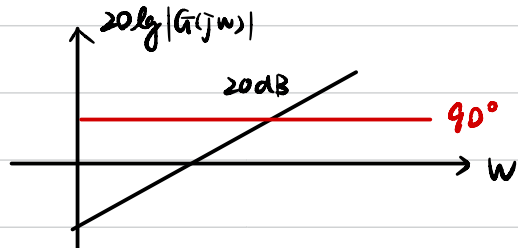
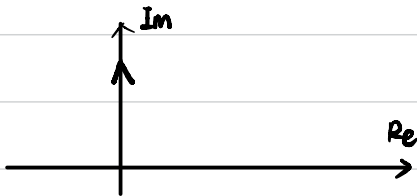
1. 比例环节: $G(s) = K \quad G(j\omega) = K \quad \begin{cases} |G(j\omega)| = K \\ \angle G(j\omega) = 0^\circ \end{cases}$



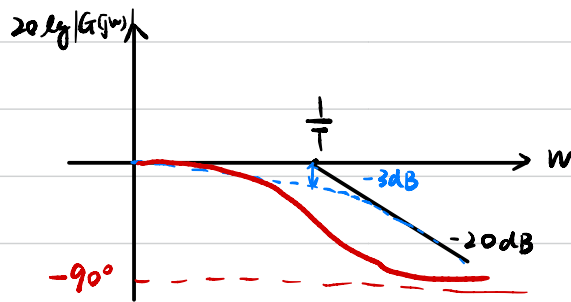
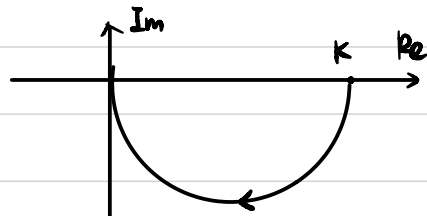
2. 积分环节: $G(s) = \frac{1}{s} \quad G(j\omega) = \frac{1}{j\omega} \quad \begin{cases} |G(j\omega)| = \frac{1}{\omega} \\ \angle G(j\omega) = -90^\circ \end{cases}$



3. 微分环节 $G(s) = s \quad G(j\omega) = j\omega \quad \begin{cases} |G(j\omega)| = \omega \\ \angle G(j\omega) = 90^\circ \end{cases}$



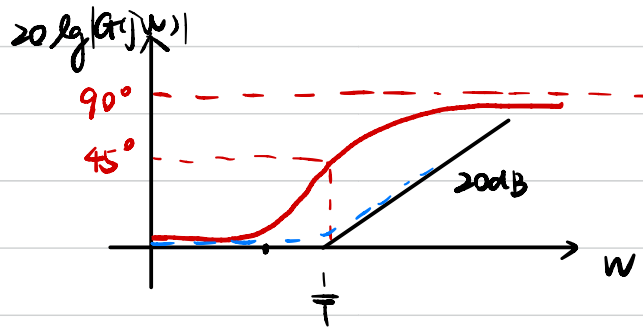
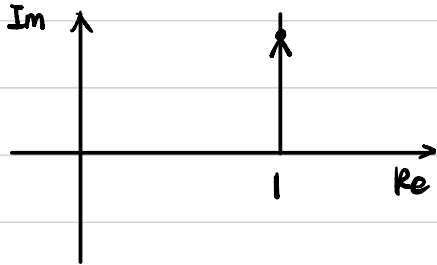
4. 一阶惯性环节 $G(s) = \frac{K}{Ts+1} \quad G(j\omega) = \frac{K}{1+j\omega T} \quad \begin{cases} |G(j\omega)| = \frac{K}{\sqrt{1+(\omega T)^2}} \\ \angle G(j\omega) = -\arctan(\omega T) \end{cases}$



5. 微分环节 $G(s) = Ts + 1$

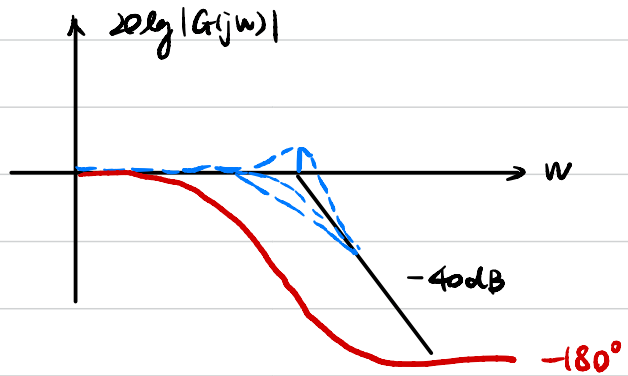
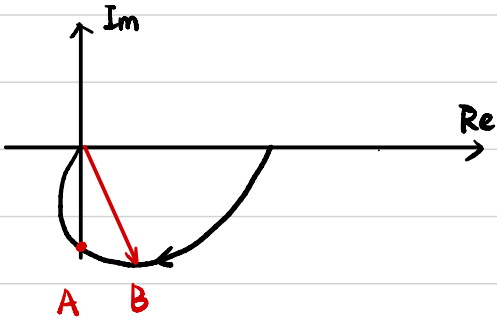
$$G(j\omega) = Tj\omega + 1$$

$$\begin{cases} |G(j\omega)| = \sqrt{(T\omega)^2 + 1} \\ \angle G(j\omega) = \arctan(T\omega) \end{cases}$$



6. 振荡环节 $G(s) = \frac{\omega_n^2}{s^2 + 2\zeta\omega_n s + \omega_n^2}$

$$G(j\omega) = \frac{1}{1 - (\frac{\omega}{\omega_n})^2 + 2j\zeta\frac{\omega}{\omega_n}}$$



A: $\begin{cases} \text{转折频率 } \omega_n \\ \text{相位延迟 } \angle G(j\omega) = -90^\circ \\ |G(j\omega)| = \frac{1}{2\zeta} \end{cases}$

修正曲线: 谐振点和谐振时 $|G(j\omega)|$
 转折频率时有 $20\lg|G(j\omega)| = 20\lg|\frac{1}{2\zeta}|$

B: $\begin{cases} \text{谐振频率 } \omega_r = \omega_n \sqrt{1 - 2\zeta^2} \\ |G(j\omega)| = \frac{1}{2\zeta\sqrt{1 - \zeta^2}} \end{cases}$

△ 由波特图确定传递函数

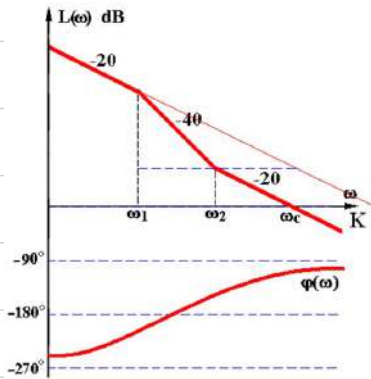
1. 确定各转折频率, 写典型特性

* 振荡环节: $\frac{1}{(\frac{s^2}{\omega_n^2} + \frac{2\zeta s}{\omega_n} + 1)}$ 转折频率和S下的数是平方关系

2. 确定增益K: 分段忽略其中部分项, 利用和W轴交点算

3. 利用相频关系确定是否是最小相位环节

eg:



$$G(s) = \frac{k(\frac{s}{\omega_2} \pm 1)}{s(\frac{s}{\omega_1} \pm 1)}$$

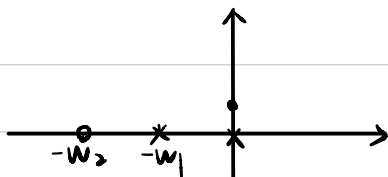
① 利用 ω_c 求K

$$\text{由于 } \omega_c \gg \omega_2 \gg \omega_1 \Rightarrow |G(j\omega_c)| = \frac{k \cdot \frac{\omega_c}{\omega_2}}{\omega_c \cdot \frac{\omega_c}{\omega_1}} = 1$$

$$\text{得 } k = \frac{\omega_2 \omega_c}{\omega_1}$$

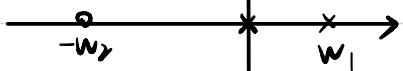
② 确定最小相位系统

a. ++



$$\omega = 0^+ \text{ 时 } \angle Z - \angle P = 0^\circ - (0^\circ + 90^\circ) = -90^\circ$$

b. +-



$$\omega = 0^+ \text{ 时 } \angle Z - \angle P = 0^\circ - (180^\circ + 90^\circ) = -270^\circ$$

c. 略

$$\text{综上: } G(s) = \frac{\frac{\omega_2 \omega_c}{\omega_1} \cdot (\frac{s}{\omega_2} + 1)}{s(\frac{s}{\omega_1} + 1)}$$

△ 由传递函数图波特图

[幅度] 1. 列出分段点

2. 画初始基准线: 斜率为 $-20 \cdot \nu$, 恒过点 $(1, 20 \lg K)$

3. 修正: 谐振点 $W_r = W_n \sqrt{1-2\xi^2}$
 幅值 $M_r = 20 \lg \left(\frac{1}{2\xi \sqrt{1-\xi^2}} \right)$ (相较于基准线)

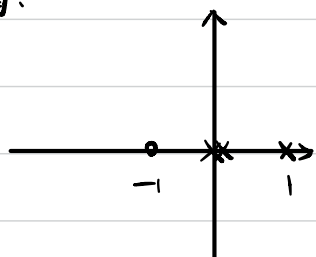
[相角] 1. 列写表达式

2. 分段画图后叠加

3. 低频段积分环节补充 $90^\circ \cdot \nu$

eg: 画 $G(s) = \frac{6(s+1)}{s^2(s-1)}$ 的波特图, 奈斯特图

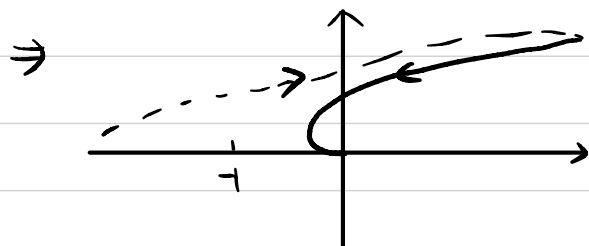
A. Nyquist 图:



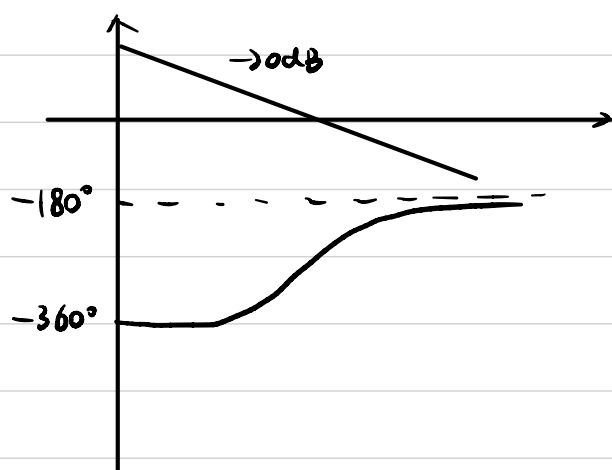
$W=0$ 时, $\angle G(jW) = 0 - (180^\circ) = -180^\circ$, $|G(jW)| = \infty$

$W=0^+$ 时, $\angle G(jW) = 0 - (90^\circ + 90^\circ + 180^\circ) = -360^\circ$, $|G(jW)| = \infty$

$W=\infty$ 时, $\angle G(jW) = 90^\circ - (90^\circ + 90^\circ + 90^\circ) = +80^\circ$, $|G(jW)| = 0$



B. Bode 图



$$\begin{aligned} \angle G(jW) &= \arctan W T - \left(2 \times \frac{\pi}{2} + 180^\circ - \arctan W T \right) \\ &= 2 \arctan W - 2\pi \end{aligned}$$

Nyquist 稳定性判据: 关键在于画开环 Nyquist 曲线

$$[I] \quad Z = P - 2N$$

P : 开环不稳定极点个数 (不包括原点)

N : 开环 Nyquist 图绕 $(-1, 0)$ 的圈数, 顺时针为负, 逆时针为正

Z : 闭环不稳定极点个数

系统稳定的必要条件 $\Rightarrow Z=0$

$$[II] \quad Z = P - 2(N^+ - N^-)$$

N^+ : 开环 Nyquist 在 $(-1, 0j)$ 左侧正穿越次数 (从上向下)

N^- : 开环 Nyquist 在 $(-1, 0j)$ 左侧负穿越次数 (从下向上)

Δ 起始或终止于 $(-1, 0j)$ 在侧, 记为半次穿越

eg: 上页中 $G(s) = \frac{6(s+1)}{s^2(s-1)}$

有: $P=1$, 由图: $N = -\frac{1}{2}$, $N^- = \frac{1}{2}$, 则 $Z = 1 - 2 \times (-\frac{1}{2}) = 2$, 不稳定

对数稳定性判据:

$$Z = P - 2(N^+ - N^-)$$

N^+ : $L(\omega) > 0$ 部分正穿越 $(\pm k\pi)$ 的次数 (从下向上)

N^- : $L(\omega) > 0$ 部分负穿越 $(\pm k\pi)$ 的次数 (从上向下)

Δ 起始或终止于 $(\pm k\pi)$ 的算半次穿越

易错点

1. 离散化模型时:

$$\begin{cases} G = e^{At} \\ H = (\int_0^T e^{At} dt) B \end{cases} \quad \text{其中若 } e^{At} \text{ 含有 } e^t/e^{-t} \text{ 项时, 积分下限会产生一个常数}$$

2. 对线性模型

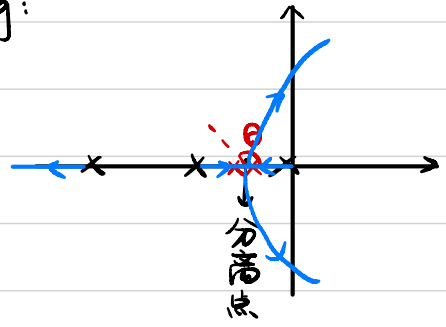
$$\begin{cases} \dot{X} = AX + BU \\ Y = CX + DU \end{cases} \quad \text{状态转移矩阵为 } e^{At} = t^{-1} [(sI - A)^{-1}]$$

对离散模型

$$\begin{cases} X(k+1) = GX(k) + HU(k) \\ Y(k) = CX(k) + DX(k+1) \end{cases} \quad \text{状态转移矩阵为 } G^k = z [(zI - G)^{-1} z]$$

3. 画分离点的 λ /映射角时: 开环极点应相应移动

eg:

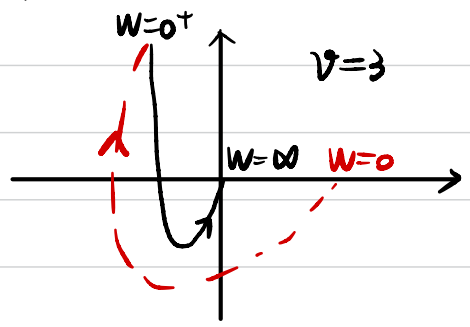


$$\begin{aligned} 0^\circ - (2\theta + 0^\circ) &= -180^\circ \\ \Rightarrow \theta &= 90^\circ \end{aligned}$$

4. Nyquist 图补虚线的方向:

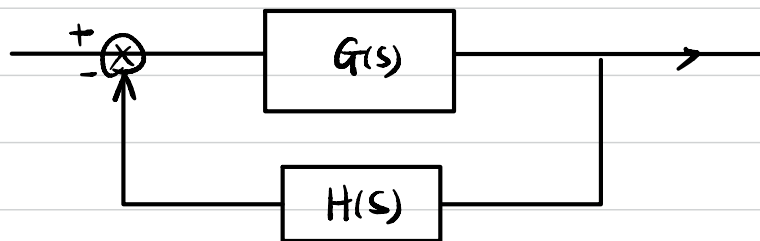
由于积分环节在分母, 减小的角应为顺时针

eg:



- $W=0$: 积分环节不起作用
- $W=0^+$: 相比于 $W=0$ 少了 90° 角度
- $W=\infty$: 最终为 $-90^\circ (n-m)$

5.



$G(s)$: 前向通路传递函数

$H(s)$: 反馈通路传递函数

$G_H(s)$: 开环传递函数

稳态误差系数法是由 $G_H(s)$ 得出且表示为尾 1

6. 解微分方程/差分方程有初值问题:

$$\begin{cases} \mathcal{L}[f'(t)] = sF(s) - f(0) \\ \mathcal{L}[f''(t)] = s^2F(s) - sf(0) - f'(0) \\ \mathcal{Z}[f(t-nT)] = z^{-n}F(z) \\ \mathcal{Z}[f(t+nT)] = z^n[F(z) - \sum_{k=0}^{n-1} f(kT)z^{-k}] \end{cases}$$

7. 建模时写微分方程应写成 输出 = 输入 形式

8. 化简方框图 ① 分母没有二次项 ② 注意是 **反馈** 还是 **并联**

9. 利用梅森公式时别忽略两两不接触的路: **先来积后相加**

$$\Delta = 1 - \sum La + \sum LaLb - \sum LaLbLc \dots$$

10. 已知 $X(z)$, 仅能得到 $x(kT)$ 从而得到 $x^*(t)$ 冲激串, 称为 Z 反变换结果

① $x(t)$ 对应唯一的 $X(z)$

② $x^*(t)$ 对应不唯一的 $x(t)$

$$11. \begin{cases} \sigma = e^{-\frac{\xi\pi}{\sqrt{1-\xi^2}}} \times 100\% \\ t_p = \frac{\pi}{\omega_n \sqrt{1-\xi^2}} \\ t_r = \frac{\pi - \arccos \xi}{\omega_n \sqrt{1-\xi^2}} \\ t_s = \frac{3}{\xi\omega_n} (\Delta=5\%) \quad \frac{4}{\xi\omega_n} (\Delta=2\%) \end{cases}$$

12. 二阶系统加入零点后超调量增加, 峰值时间提前

13. 计算稳态误差前判断稳定性

(一) $K_v = \lim_{s \rightarrow 0} s^v \cdot G(s)$

* 连续

	零	I	II
A	$\frac{A}{1+k_p}$	0	0
At	∞	$\frac{A}{k_v}$	0
$\frac{1}{2}At^2$	∞	∞	$\frac{A}{k_a}$

$K_v = \lim_{z \rightarrow 1} (z-1)^v \cdot G(z)$

离散(采样周期为T)

	零	I	II
A	$\frac{A}{1+k_p}$	0	0
At	∞	$\frac{AT}{k_v}$	0
$\frac{1}{2}At^2$	∞	∞	$\frac{AT^2}{k_a}$

型别由 s^v 判定

型别由 $(z-1)^v$ 判定

(二) 终值定理

$ess(\infty) = \lim_{s \rightarrow 0} s \cdot R(s) \cdot \Phi_{ef}(s)$

$ess(\infty) = \lim_{z \rightarrow 1} (z-1) \cdot R(z) \cdot \Phi_{ef}(z)$

14. 加入零点时应采用添加尾1的形式

15. 二阶系统标准形式:

$G(s) = \frac{1}{\frac{s^2}{\omega_n^2} + \frac{2\zeta}{\omega_n}s + 1}$ 注意 s^2 下面是 ω_n^2

